

KAISEL. AKADEMIE DER WISSENSCHAFTEN IN WIEN.

MITTEILUNGEN
DER
ERDBEBEN-KOMMISSION
DER KAISERLICHEN
AKADEMIE DER WISSENSCHAFTEN IN WIEN.

NEUE FOLGE.

N^o. XX.

ERDBEBENSTÖRUNGEN ZU TRIEST,

BEOBACHTET AM REBEUR-EHLERT'SCHEN HORIZONTALPENDEL IM
JAHRE 1902

von

EDUARD MAZELLE,
REFERENT DER ERDBEBEN-KOMMISSION.

MIT 1 TEXTFIGUR.

WIEN, 1903.

AUS DER KAISERLICH-KÖNIGLICHEN HOF- UND STAATSDRUCKEREI.

IN KOMMISSION BEI KARL GEROLD'S SOHN,
BUCHHÄNDLER DER KAISERLICHEN AKADEMIE DER WISSENSCHAFTEN.

Die »Mitteilungen der Erdbeben-Kommission« erschienen bisher in den Sitzungsberichten der mathem.-naturw. Klasse, Abteilung I. Von nun an werden sie als besondere Ausgabe veröffentlicht werden.

Bisher sind folgende Nummern der »Mitteilungen« ausgegeben worden:

- I. Bericht über die Organisation der Erdbeben - Beobachtung nebst Mitteilungen über während des Jahres 1896 erfolgte Erdbeben, zusammengestellt von Edmund v. Mojsisovics (Sitz. Ber., Bd. 106 [1897], Abt. I, Heft II) — K 60 h.
- II. Bericht über das Erdbeben von Brüx am 3. November 1896, von Friedrich Becke (Sitz. Ber., Bd. 106 [1897], Abt. I, Heft II) — K 50 h.
- III. Bericht über das Erdbeben vom 5. Jänner 1897 im südlichen Böhmerwalde, von Friedrich Becke (Sitz. Ber., Bd. 106 [1897], Abt. I, Heft III) — K 40 h.
- IV. Bericht über die im Triester Gebiete beobachteten Erdbeben am 15. Juli, 3. August und 21. September 1897, von Eduard Mazelle (Sitz. Ber., Bd. 106 [1897], Abt. I, Heft IX) — K 40 h
- V. Allgemeiner Bericht und Chronik der im Jahre 1897 innerhalb des Beobachtungsgebietes erfolgten Erdbeben, zusammengestellt von Edmund v. Mojsisovics (Sitz. Ber., Bd. 107 [1898], Abt. I, Heft V) 3 K 40 h.
- VI. Die Erderschütterungen Laibachs in den Jahren 1851 bis 1886, vorwiegend nach den handschriftlichen Aufzeichnungen K. Deschmanns, von Ferdinand Seidl (Sitz. Ber., Bd. 107 [1898], Abt. I, Heft VI) — K 50 h.
- VII. Verhalten der Karlsbader Thermen während des voigtländisch-westböhmischen Erdbebens im Oktober—November 1897, von Josef Knott (Sitz. Ber., Bd. 107 [1898], Abt. I, Heft VI) 2 K 60 h.
- VIII. Bericht über das Graslitzer Erdbeben vom 24. Oktober bis 25. November 1897, von Friedrich Becke (Sitz. Ber., Bd. 107 [1898], Abt. I, Heft VII) 5 K 40 h.
- IX. Bericht über die unterirdische Detonation von Melnik in Böhmen vom 8. April 1898, von Johann N. Woldřich (Sitz. Ber., Bd. 107 [1898], Abt. I, Heft X) — K 90 h.
- X. Allgemeiner Bericht und Chronik der im Jahre 1898 innerhalb des Beobachtungsgebietes erfolgten Erdbeben, zusammengestellt von Edmund v. Mojsisovics (Sitz. Ber., Bd. 108 [1899], Abt. I, Heft. IV) 3 K 20 h.
- XI. Die Einrichtung der seismischen Station in Triest und die vom Horizontalpendel aufgezeichneten Erdbebenstörungen von Ende August 1898 bis Ende Februar 1899, von Eduard Mazelle (Sitz. Ber., Bd. 108 [1899], Abt. I, Heft V) 1 K — h.
- XII. Übersicht der Laibacher Osterbebenperiode für die Zeit vom 16. April 1895 bis Ende Dezember 1898, von Ferdinand Seidl (Sitz. Ber., Bd. 108 [1899], Abt. I, Heft V) — K 70 h.
- XIII. Bericht über das obersteierische Beben vom 27. November 1898, von Rudolf Hoernes (Sitz. Ber., Bd. 108 [1899], Abt. I, Heft V) 1 K 10 h.
- XIV. Bericht über die obersteierischen Beben des ersten Halbjahres 1899 (zumal über die Erschütterungen vom 1., 7. und 29. April), von Rudolf Hoernes (Sitz. Ber., Bd. 108 [1899], Abt. I, Heft VIII) 2 K 10 h.
- XV. Bericht über Erdbebenbeobachtungen in Kremsmünster, von Franz Schwab (Sitz. Ber., Bd. 109 [1900], Abt. I, Heft II) 1 K 10 h.
- XVI. Bericht über das niederösterreichische Beben vom 11. Juni 1899, von F. Noë (Sitz. Ber., Bd. 109 [1900], Abt. I, Heft II) — K 60 h.

- XVII. Erdbebenstörungen zu Triest, beobachtet am Rebeur-Ehlert'schen Horizontalpendel vom 1. März bis Ende Dezember 1899, von Eduard Mazelle (Sitz. Ber., Bd. 109 [1900], Abt. I, Heft II) — K 90 h.
- XVIII. Allgemeiner Bericht und Chronik der im Jahre 1899 innerhalb des Beobachtungsgebietes erfolgten Erdbeben, zusammengestellt von Edmund v. Mojsisovics (Sitz. Ber., Bd. 109 [1900], Abt. I, Heft III) 3 K 30 h.
- XIX. Die tägliche periodische Schwankung des Erdbodens nach den Aufzeichnungen eines dreifachen Horizontalpendels zu Triest, von Eduard Mazelle (Sitz. Ber., Bd. 109 [1900], Abt. I, Heft VII) 3 K 20 h.
- XX. Über die Beziehungen zwischen Erdbeben und Detonationen, von Josef Knett (Sitz. Ber., Bd. 109 [1900], Abt. I, Heft IX) — K 80 h.
- XXI. Bericht über das Detonationsphänomen im Duppauer Gebirge am 14. August 1899, von Josef Knett (Sitz. Ber., Bd. 109 [1900], Abt. I., Heft IX) . . . 1 K — h.

Neue Folge.

- I. Bericht über die Erdbebenbeobachtungen in Lemberg, von W. Láska 1 K 90 h.
- II. Allgemeiner Bericht und Chronik der im Jahre 1900 im Beobachtungsgebiete eingetretenen Erdbeben, von Edmund v. Mojsisovics 2 K 30 h.
- III. Bericht über die seismischen Ereignisse des Jahres 1900 in den deutschen Gebieten Böhmens, von V. Uhlig 2 K 50 h.
- IV. Bericht über die Erdbebenbeobachtungen in Kremsmünster im Jahre 1900, von P. Franz Schwab — K 60 h.
- V. Erdbebenstörungen zu Triest, beobachtet am Rebeur-Ehlert'schen Horizontalpendel im Jahre 1900, von Eduard Mazelle 1 K — h.
- VI. Das nordostböhmische Erdbeben vom 10. Jänner 1901, von J. N. Woldřich 1 K 60 h.
- VII. Erdbeben und Stoßlinien Steiermarks, von R. Hoernes 2 K 10 h.
- VIII. Die Erdbeben Polens. Des historischen Teiles I. Abteilung, von W. Láska — K 80 h.
- IX. Bericht über die Erdbeben-Beobachtungen in Lemberg während des Jahres 1901, von Prof. Dr. W. Láska 1 K 10 h.
- X. Allgemeiner Bericht und Chronik der im Jahre 1901 innerhalb des Beobachtungsgebietes erfolgten Erdbeben von Edmund v. Mojsisovics 1 K 10 h.
- XI. Erdbebenstörungen zu Triest, beobachtet am Rebeur-Ehlert'schen Horizontalpendel im Jahre 1901, nebst einem Anhange über die Aufstellung des Vicentini'schen Mikroseismographen, von Eduard Mazelle 1 K 20 h.
- XII. Bericht über die Erdbebenbeobachtungen in Kremsmünster im Jahre 1901, von Prof. P. Franz Schwab — K 40 h.
- XIII. Das Erdbeben von Saloniki am 5. Juli 1902 und der Zusammenhang der makedonischen Beben mit den tektonischen Vorgängen in der Rhodopemasse, von R. Hoernes 2 K — h.
- XIV. Über die Berechnung der Fernbeben, von Prof. Dr. W. Láska . . . — K 30 h.
- XV. Die mikroseismische Pendelunruhe und ihr Zusammenhang mit Wind und Luftdruck, von Eduard Mazelle 2 K 60 h.
- XVI. Vorläufiger Bericht über das erzgebirgische Schwarmbeben vom 13. Februar bis 25. März 1903, mit einem Anhang über die Nacherschüttungen bis Anfang Mai, von J. Knett. — K 80 h.
- XVII. Das Erdbeben von Sinj am 2. Juli 1898, von Adolf Faidiga 2 K 90 h.
- XVIII. Das Erdbeben am Böhmischem Pfahl, von J. Knett — K 80 h.
- XIX. Allgemeiner Bericht und Chronik der im Jahre 1902 im Beobachtungsgebiete eingetretenen Erdbeben, von Edmund v. Mojsisovics. (Mit einem Anhange: Bericht über die Aufstellung zweier Seismographen in Příbram, von Dr. Hans Benndorf.) 2 K 60 h.

Erdbebenstörungen zu Triest,
beobachtet am Rebeur-Ehlert'schen Horizontalpendel im
Jahre 1902

von

Eduard Mazelle,

Referent der Erdbeben-Kommission der kaiserl. Akademie der Wissenschaften.

(Mit 1 Textfigur.)

(Vorgelegt in der Sitzung am 2. Juli 1903.)

Die hier vorliegenden Erdbebenstörungen des Jahres 1902 bilden die Fortsetzung der in den Mitteilungen¹ der Erdbeben-Kommission der kaiserl. Akademie der Wissenschaften in Wien seit Ende August 1898 bereits veröffentlichten Ergebnisse aus den Aufzeichnungen des am k. k. astronomisch-meteorologischen Observatorium zu Triest aufgestellten photographisch registrierenden Horizontalpendels.

Die im Jahre 1902 vorgenommenen täglichen Ablesungen des Psychrometers ergeben ähnliche Verhältnisse wie in den vorangehenden Jahren.

Als Fortsetzung der in den früheren Mitteilungen veröffentlichten Temperaturtabellen folgen hier die Ablesungen für jeden fünften Tag.

¹ Ed. Mazelle, Mitteilungen der Erdbeben-Kommission Nr. XI, XVII, XIX, wie auch V, XI, XV neue Folge.

Temperaturen im Horizontalpendel-Raume.

Ablesung 12^h mittags.

1902, Jänner	1....12°4 6....12·2 11....11·9 16....11·2 21....11·2 26....11·1 31....10·2	1902, Juni	5....15°2 10....15·8 15....15·8 20....16·0 25....16·4 30....16·8
Februar	5....10·0 10....10·4 15....10·6 20....10·2 25....10·4	Juli	5....17·5 10....18·1 15....18·3 20....19·0 25....19·1 30....19·2
März	2....10·8 7....10·8 12....10·8 17....10·8 22....11·1 27....11·3	August	4....19·4 9....19·8 14....19·4 19....19·4 24....19·6 29....19·6
April	1....11·6 6....12·0 11....12·2 16....12·7 21....13·4 26....13·9	September	3....19·8 8....20·2 13....20·0 18....19·6 23....18·6 28....18·4
Mai	1....13·4 6....13·6 11....13·6 16....13·5 21....12·6 26....13·8 31....14·4	Okttober	3....18·2 8....18·0 13....18·0 18....17·6 23....16·8 28....15·9

1902, November	2....15°4	1902, Dezember	2....12°1
	7....15·4		7....11·0
	12....15·1		12....10·4
	17....14·0		17....10·4
	22....12·4		22....10·3
	27....12·0		27....10·2

Die Temperatur schwankte zwischen $9\cdot8^{\circ}$ und $20\cdot2^{\circ}$, hielt sich demnach zwischen den bereits aus den früheren Beobachtungen gezogenen Grenzen $9\cdot0^{\circ}$ und $20\cdot8^{\circ}$.

Die Veränderlichkeit der Temperatur von einem Tage zum anderen ist auch im Jahre 1902 sehr klein, erreicht im Mittel nur $0\cdot13^{\circ}$. Die größte Veränderlichkeit betrug $1\cdot1^{\circ}$, doch wurde diese nur einmal beobachtet, während gar keine Änderung von einem Mittag zum anderen an 127 Tagen vorkam und eine Veränderlichkeit von nur $0\cdot1^{\circ}$ an 126 Tagen. Es ist mithin eine Veränderlichkeit der Temperatur von $0\cdot0^{\circ}$ und $0\cdot1^{\circ}$ 253 mal zu konstatieren gewesen, demnach bei 69% sämtlicher Beobachtungstage.

Die Mittel der Veränderlichkeit der Temperatur für die einzelnen Dekaden sind nachfolgende:

1902, Jänner:	1. Dekade.....	0°06
	2. » 	0·11
	3. » 	0·12
Februar:	1. » 	0·24
	2. » 	0·16
	3. » 	0·09
März:	1. » 	0·07
	2. » 	0·04
	3. » 	0·07
April:	1. » 	0·12
	2. » 	0·10
	3. » 	0·12
Mai:	1. » 	0·24
	2. » 	0·11
	3. » 	0·26

1*

1902, Juni:	1. Dekade.....	$0^{\circ}14$
	2. »	$0\cdot10$
	3. »	$0\cdot08$
Juli:	1. »	$0\cdot13$
	2. »	$0\cdot13$
	3. »	$0\cdot09$
August:	1. »	$0\cdot10$
	2. »	$0\cdot08$
	3. »	$0\cdot09$
September:	1. »	$0\cdot13$
	2. »	$0\cdot12$
	3. »	$0\cdot10$
Oktober:	1. »	$0\cdot05$
	2. »	$0\cdot11$
	3. »	$0\cdot15$
November:	1. »	$0\cdot07$
	2. »	$0\cdot27$
	3. »	$0\cdot20$
Dezember:	1. »	$0\cdot27$
	2. »	$0\cdot12$
	3. »	$0\cdot11$

Die relative Feuchtigkeit der Luft im Horizontalpendelkeller schwankte zwischen 68% und 100%. Der letztgenannte Wert wurde nur einmal beobachtet.

Die Schwingungsdauer beträgt bei

Pendel <i>N</i>	$8\cdot77^s$
<i>V</i>	$8\cdot28^s$
<i>E</i>	$8\cdot82^s$

wozu bemerkt werden soll, daß Pendel *E* in der Richtung E—W liegt, demnach Pendel *N* bei W 60° N und Pendel *V* bei W 60° S aufgestellt sind.

Aus dieser Schwingungsdauer ergeben sich für die drei chfolgende Reduktionsgrößen:

Neigungsänderung der Pendelachse bei Bewegung
des Lichtpunktes um 1 mm.

Pendel N.... 0·031"

V.... 0·037"

E.... 0·031".

Nach Ausmessung der Seismogramme auf Zehntelmillimeter wurde für jede einzelne Störung die hauptsächlich durch die variable Kontraktion des Papiers nach erfolgter photographischer Entwicklung hervorgerufene verschiedene Stundenlänge in Berücksichtigung gezogen und die Zeitangaben auf Hundertelminuten umgerechnet. Die mittlere Stundenlänge resultiert mit $43\cdot47 \text{ mm}$, daher $0\cdot1 \text{ mm} = 0\cdot138^{\text{m}}$. Ferner wurde die durch künstliche Abblendung von Fall zu Fall bestimmte Parallachse der Lichtpunkte, wie auch die Korrektion für den Blendenfall zur Stundenmarkierung in Rechnung gebracht.

Die nach den regelmäßigen Zeitbestimmungen des Observatoriums täglich vorgenommenen Vergleiche der Walzenuhr des Seismographen ergaben einen zufriedenstellenden Gang.

Die Lichtquelle, eine kleine Gasflamme, bewährte sich ganz gut.

Die Zeitangaben sind in mitteleuropäischer Zeit gehalten. Die Stunden laufen von Mitternacht zu Mitternacht. Die Amplituden der Schwingungen beziehen sich auf die ganze Ausschlagsweite.

Da das Ende einer Störung kaum genau angegeben werden kann, so sind die hier für das Ende des Bebens mitgeteilten Dezimalen der Minute nur als Rechnungsergebnisse der einzelnen Korrektionsgrößen zu betrachten.

Die zur Anwendung gelangten Abkürzungen sind wie in den früheren Jahren die nachfolgenden:

B. Beginn der Störung.

Max. Maximum.

M_1, M_2, M_3 .. Erstes, zweites, drittes... Maximum der Störung.

E. Ende der Störung.

A^{m} Größter Ausschlag.

- A* Amplitude, beziehungsweise mittlere Amplitude.
- A₁, A₂, A₃* ... Ausschlag des ersten, zweiten, dritten... Maximums.
- > Plötzliches Anschwellen der Bewegung, darauffolgende allmähliche Abnahme.
- (>) Sehr rasches Anwachsen und allmähliche Abnahme der Bewegung.
- <> Langsame Zu- und Abnahme.

Bei der täglichen Bedienung der Seismographen, wie auch bei den ersten Ablesungen der Kurven leisteten ihre Mithilfe der Adjunkt des Observatoriums, Herr Ingenieur Faidiga, und der Hilfsbeamte Herr Bartosch.

Nr. 1. 1. Jänner 1902:

Knotenförmige Bildung.

N... B. 6^h 32^m50; *M*₁ 6^h 35^m25, *A₁* 1·4 mm; E. 6^h 39^m36.

Beginn der Hauptstörung 6^h 42^m11, Aufzeichnung verschwindet, Pendel gelangt nach 8^h zur Ruhe.

V... Mikroseismisch bewegt.

E... » . »

Nr. 2. 2. Jänner 1902:

N... Von 15^h 25^m80 bis 15^h 28^m98 zwei knotenförmige Bildungen, *A_m* 1·0 mm.

V... Tagsüber mikroseismisch bewegt.

E... » . » . »

Nr. 3. 3. Jänner 1902:

(> *N*... B. 22^h 30^m22; Aufzeichnung undeutlich; Maximum der Anschwellung erreicht eine *A* von 1·7 mm; E. 22^h 54^m97.

V... Tagsüber unruhig.

» . »

Nr. 4. 9. Jänner 1902:

(> N... B. 1^h 11^m37; M_1 1^h 16^m95, A_1 2·4 mm;
 M_2 1^h 20^m85, A_2 3·4 mm;
 M_3 1^h 30^m34, A_3 4·4 mm;
Max. 1^h 34^m39, A_m 4·5 mm;
 M_5 1^h 40^m39, A_5 3·2 mm;
 M_6 1^h 45^m97, A_6 3·2 mm;
 M_7 2^h 1^m32, A_7 2·0 mm; E. 2^h 13^m88.

$$V \dots B. 1^h 13^m 02; \text{Max. } 1^h 14^m 56, A_m 1.8 \text{ mm};$$

$$M_2 1^h 23^m 76, A_2 1.3 \text{ mm};$$

$$M_3 1^h 32^m 98, A_3 1.4 \text{ mm}.$$

E. wegen andauernder mikroseismischer Unruhe
nicht bestimmbar.

E... B. 1^h 11^m 34; mikroseismisch unruhig.

Nr. 5. 12. Jänner 1902:

(> N... B. $23^{\text{h}} 39^{\text{m}} 29$; M_1 $23^{\text{h}} 39^{\text{m}} 99$, A_1 $1 \cdot 3$ mm;
 M_2 $23^{\text{h}} 48^{\text{m}} 77$, A_2 $2 \cdot 7$ mm;
Max. $23^{\text{h}} 55^{\text{m}} 19$, A_m $6 \cdot 7$ mm;

hierauf Abnahme; vom 13. Jänner $0^{\text{h}} 18^{\text{m}} 78$ an eine neue Anschwellung mit Max. bei $0^{\text{h}} 22^{\text{m}} 21$ und $0^{\text{h}} 26^{\text{m}} 05$, $A_m 2\cdot5 \text{ mm}$; E. $0^{\text{h}} 31^{\text{m}} 13$.

V... Mikroseismische Unruhe sowohl vorausgehend als auch folgend; verschiedene Maxima, darunter

M_1 23^h 49^m 17, A_1 1.0 mm;
 M_2 23^h 55^m 87, A_2 1.5 mm.

E... Tagsüber unruhig.

Nr. 6. 16. Jänner 1902:

<> N... B. 12^h 52^m96; Max. 12^h 56^m27, A_m 1.5 mm;
E. 13^h 15^m63.

V... Andauernde mikroseismische Unruhe.

$$E_{\alpha_1, \dots, \alpha_n} = \langle \alpha_1, \dots, \alpha_n \rangle$$

Nr. 7. 16. Jänner 1902:

(> N... B. $15^{\text{h}} 4^{\text{m}} 30$; Max. $15^{\text{h}} 5^{\text{m}} 97$, $A_m 1 \cdot 8 \text{ mm}$;
E. $15^{\text{h}} 24^{\text{m}} 03$.

V... Tagsüber mikroseismische Unruhe.

E... » » »

Nr. 8. 17. Jänner 1902:

(> N... B. $1^{\text{h}} 18^{\text{m}} 15$; $M_1 1^{\text{h}} 20^{\text{m}} 80$, $A_1 4 \cdot 5 \text{ mm}$;
Max. $1^{\text{h}} 24^{\text{m}} 85$, $A_m 5 \cdot 0 \text{ mm}$;

hierauf Abnahme; von $1^{\text{h}} 46^{\text{m}} 48$ bis $2^{\text{h}} 8^{\text{m}} 80$ eine
zweite Anschwellung mit $A_m 1 \cdot 4 \text{ mm}$.

V... Tagsüber mikroseismische Unruhe.

E... » » »

Nr. 9. 17. Jänner 1902:

(> N... B. $20^{\text{h}} 53^{\text{m}} 48$; $M_1 20^{\text{h}} 54^{\text{m}} 32$, $A_1 1 \cdot 3 \text{ mm}$;
 $M_2 21^{\text{h}} 1^{\text{m}} 89$, $A_2 2 \cdot 5 \text{ mm}$;
 $M_3 21^{\text{h}} 15^{\text{m}} 91$, $A_3 2 \cdot 5 \text{ mm}$;
Max. $21^{\text{h}} 22^{\text{m}} 92$ und $21^{\text{h}} 32^{\text{m}} 73$,
 $A_m 3 \cdot 0 \text{ mm}$;
 $M_5 21^{\text{h}} 42^{\text{m}} 54$, $A_5 2 \cdot 2 \text{ mm}$;
E. $22^{\text{h}} 11^{\text{m}} 99$.

V... B. $20^{\text{h}} 54^{\text{m}} 30$; $M_1 20^{\text{h}} 54^{\text{m}} 86$, $A_1 0 \cdot 8 \text{ mm}$;
 $M_2 21^{\text{h}} 2^{\text{m}} 01$, $A_2 1 \cdot 7 \text{ mm}$;
Max. $21^{\text{h}} 27^{\text{m}} 94$, $A_m 2 \cdot 4 \text{ mm}$.

E. infolge andauernder mikroseismischer Unruhe
nicht bestimmbar.

E... Tagsüber unruhig.

Nr. 10. 19. Jänner 1902:

Vor 1^{h} eine seismische Störung ersichtlich, wegen undeutlicher
Bezeichnung jedoch nicht ausmeßbar.

Nr. 11. 20. Jänner 1902:

$<> N \dots$ Zwischen $2^h 29^m 32$ und $3^h 22^m 50$ eine Reihe schwacher Stöße mit $A_m 1 \cdot 8 mm$.

$V \dots$ Kontinuierliche Unruhe.

$E \dots$ » »

Nr. 12. 21. Jänner 1902:

$> N \dots$ B. $23^h 5^m 95$; $M_1 23^h 6^m 38$, $A_1 2 \cdot 4 mm$;

Max. $23^h 11^m 96$, $A_m 4 \cdot 5 mm$;

$M_3 23^h 19^m 21$, $A_3 2 \cdot 6 mm$;

$M_4 23^h 24^m 51$, $A_4 2 \cdot 6 mm$; E. $24^h 9^m 16$.

$V \dots$ B. $23^h 5^m 52$; Max. $23^h 6^m 92$, $A_m 2 \cdot 0 mm$;

$M_2 23^h 12^m 21$, $A_2 1 \cdot 2 mm$;

$M_3 23^h 20^m 17$, $A_3 1 \cdot 0 mm$;

E. $23^h 48^m 78$. Unruhe in den nächsten Stunden noch andauernd.

$E \dots$ Tagsüber schwache Unruhe.

Nr. 13. 22. Jänner 1902:

Drei deutliche Gruppen.

$<> N \dots$ B. $23^h 15^m 55$; Max. $23^h 19^m 03$, $A_m 1 \cdot 3 mm$;

E. $23^h 34^m 39$.

B. $23^h 41^m 64$; Max. $23^h 44^m 15$, $A_m 1 \cdot 5 mm$;

E. $23^h 55^m 31$.

23. Jänner:

B. $0^h 34^m 49$; Max. $0^h 36^m 96$, $A_m 1 \cdot 4 mm$;

E. $0^h 49^m 07$.

$V \dots$ B. $23^h 16^m 09$; Max. $23^h 19^m 57$, $A_m 1 \cdot 3 mm$;

E. $23^h 26^m 55$.

B. $23^h 41^m 76$; Max. $23^h 43^m 72$, $A_m 1 \cdot 3 mm$;

E. unbestimmbar.

23. Jänner:

B. $0^h 35^m 03$; Max. $0^h 35^m 85$, $A_m 1 \cdot 1 mm$;

E. wegen andauernder mikroseismischer Störung unbestimmbar.

- E...* B. $23^h 15^m 66$; Max. $23^h 19^m 28$, $A_m 2 \cdot 0 \text{ mm}$;
 E. $23^h 36^m 03$.
 B. $23^h 41^m 89$; Max. $23^h 43^m 71$, $A_m 2 \cdot 2 \text{ mm}$;
 E. $24^h 2^m 54$.
23. Jänner:
 B. $0^h 34^m 88$; Max. $0^h 36^m 94$, $A_m 2 \cdot 0 \text{ mm}$;
 E. $0^h 52^m 08$.

Nr. 14. 23. Jänner 1902:

- > *N...* B. $14^h 37^m 11$; Max. $14^h 38^m 47$, $A_m 1 \cdot 5 \text{ mm}$;
 E. $14^h 58^m 24$.
V... Mikroseismische Unruhe den ganzen Tag anhaltend.
E... B. $14^h 37^m 22$; Max. $14^h 39^m 40$, $A_m 3 \cdot 8 \text{ mm}$;
 E. $14^h 57^m 13$.

Nr. 15. 25. Jänner 1902:

- (> *N...* B. $0^h 48^m 56$; $M_1 0^h 49^m 38$, $A_1 3 \cdot 0 \text{ mm}$;
 $M_2 1^h 1^m 34$, $A_2 4 \cdot 8 \text{ mm}$;
 Max. $1^h 13^m 29$, $A_m 5 \cdot 6 \text{ mm}$;
 $M_4 1^h 29^m 94$, $A_4 4 \cdot 8 \text{ mm}$;
 $M_5 1^h 46^m 89$, $A_5 4 \cdot 5 \text{ mm}$;
 folgt eine Reihe schwächer Stöße mit $A 2 \cdot 0 \text{ mm}$ bis $3^h 0^m 22$; E. unbestimmbar.

V... Mikroseismische Unruhe.

E... » » »

Nr. 16. 28. Jänner 1902:

- <> *N...* B. $19^h 52^m 46$; $M_1 19^h 53^m 56$, $A_1 1 \cdot 6 \text{ mm}$;
 Max. $20^h 5^m 10$, $A_m 5 \cdot 3 \text{ mm}$.
 folgen schwächer werdende Stöße, bis um $20^h 20^m 75$ nur mehr $A 1 \cdot 2 \text{ mm}$, hierauf neuerliche Verstärkung mit $A_m 2 \cdot 0 \text{ mm}$; E. $21^h 9^m 08$.

V... Tagsüber mikroseismische Unruhe.

»

»

»

Nr. 17. 29. Jänner 1902:

(> N... B. 2^h 34^m27; M_1 2^h 38^m34, A_1 2·8 mm;
von 2^h 47^m03 bis 3^h 6^m58 eine Reihe fast gleich-
starker Stöße mit A 3·5 mm; E. 3^h 43^m24.

V... Mikroseismische anhaltende Unruhe.

E... » » »

Nr. 18. 30. Jänner 1902:

<> N... B. 15^h 11^m84; M_1 15^h 14^m63, A_1 2·5 mm;
folgt eine große Reihe von Stößen, Aufzeichnung
undeutlich. Von 16^h 12^m68 an zeigen die
Schwingungen nur mehr A 2·0 mm; E. bei
17^h 5^m69.

V... B. 15^h 12^m38; M_1 15^h 13^m22, A_1 1·3 mm;
 M_2 15^h 16^m01, A_2 1·5 mm;

Aufzeichnung wird undeutlich, bei 15^h 57^m87 wieder
entnehmbar, jedoch mit nur A 1·0 mm; E. bei
16^h 34^m15.

E... B. unbestimmbar; M_1 15^h 15^m72, A_1 2·2 mm;
folgt eine Reihe gleichstarker Stöße; E. 16^h 2^m46.

Nr. 19. 31. Jänner 1902:

<> N... B. 2^h 53^m37; M_1 2^h 58^m14, A_1 3·0 mm;
Aufzeichnung wird undeutlich; E. 4^h 0^m19.

V... B. 2^h 53^m91; der weitere Verlauf durch mikroseis-
mische Bewegung gestört.

E... Kontinuierliche Unruhe.

Nr. 20. 4. Februar 1902:

Das Vorhandensein einer Störung vor 1^h zwar ersichtlich,
wegen Versagens des photographischen Papiers jedoch
nicht ausmeßbar.

Nr. 21. 6. Februar 1902:

(> N... B. 4^h 41^m65; Max. 4^h 43^m16, A_m 1·7 mm;
E. 4^h 53^m39.

V... Ruhig.

E... Kontinuierliche Unruhe vorangehend. Zur Zeit obiger Störung bemerkbar von 4^h 43^m41 bis 4^h 57^m73 eine Verdickung mit A_m 1·1 mm.

Nr. 22. 9. Februar 1902:

> N... B. 8^h 55^m08; M_1 8^h 55^m90, A_1 2·2 mm;
 M_2 8^h 59^m44, A_2 6·3 mm;
Max. 9^h 7^m15, A_m 9·0 mm;
 M_4 9^h 14^m37, A_4 7·2 mm;
 M_5 9^h 28^m26, A_5 7·4 mm;
 M_6 9^h 41^m60, A_6 5·0 mm;
 M_7 9^h 47^m72, A_7 3·4 mm; E. 10^h 7^m16.

Zwischen 10^h 12^m72 und 10^h 47^m43 noch eine Anschwellung mit A_m 1·3 mm.

V... B. 8^h 56^m03; M_1 8^h 57^m53, A_1 3·0 mm;
 M_2 9^h 5^m34, A_2 3·8 mm;
 M_3 9^h 8^m80, A_3 3·8 mm;
 M_4 9^h 13^m81, A_4 2·0 mm;

folgt eine ganze Reihe schwächerer Stöße.

E... B. 8^h 55^m06; M_1 8^h 55^m74, A_1 1·5 mm;
Max. 8^h 59^m69, A_m 3·0 mm;

von 9^h 9^m07 noch eine Anschwellung bis 9^h 29^m90,
 A_m 1·2 mm.

Nr. 23. 9. Februar 1902:

> N... B. 11^h 25^m66; M_1 11^h 26^m91, A_1 1·6 mm;
 M_2 11^h 30^m55, A_2 5·6 mm;
 M_3 11^h 35^m44, A_3 6·0 mm;
 M_4 11^h 50^m40, A_4 6·0 mm;
 M_5 12^h 0^m62, A_5 4·4 mm;
 M_6 12^h 7^m18, A_6 2·0 mm;

— unbestimmt.

V... B. 11^h 26^m90; Max. 11^h 28^m30, A_m 3·4 mm;
 M_2 11^h 33^m33, A_2 2·0 mm;
 hierauf mehrere fast gleichstarke Stöße; bei 12^h 1^m16
 noch A 1·0 mm; E. unbestimbar.

E... B. 11^h 25^m62; M_1 11^h 26^m19, A_1 1·8 mm;
 Max. 11^h 28^m84, A_m 4·8 mm;
 M_3 11^h 36^m39, A_3 2·3 mm;
 M_4 11^h 56^m67, A_4 1·6 mm;

E. unbestimbar.

Nr. 24. 10. Februar 1902:

N... Von 9^h 47^m12 bis 9^h 50^m57 Anschwellung, A 1·2 mm.

V... Von 9^h 49^m18 bis 9^h 51^m94 Anschwellung, A 1·0 mm.

E... Ruhig.

Nr. 25. 13. Februar 1902:

Die Aufzeichnung des ersten Teiles der Störung ist sehr undeutlich; entnehmbar ist nur:

> *N...* B. 10^h 44^m66; nach deutlicher werdender Zeichnung:
 M_1 11^h 25^m22, A_1 2·6 mm;
 M_2 11^h 30^m10, A_2 4·0 mm;
 M_3 11^h 36^m80, A_3 3·8 mm;
 Max. 11^h 41^m83, A_m 4·4 mm;
 M_5 11^h 49^m09, A_5 2·6 mm; E. 11^h 55^m36.

Vor 12^h 17^m folgt eine neuerliche Zunahme der Pendelbewegung mit A_m 2·0 mm.

V... B. 10^h 44^m92; Anmerkung wie oben:

M_1 11^h 11^m67, A_1 3·0 mm;
 Max. 11^h 19^m63, A_m 4·2 mm;
 M_3 11^h 28^m42, A_3 3·2 mm; E. 11^h 41^m95.

E... B. 10^h 44^m77; M_1 10^h 46^m57, A_1 2·0 mm;

Anmerkung wie oben:

M_2 11^h 4^m68, A_2 3·0 mm;
 M_3 11^h 10^m95, A_3 3·0 mm; E. 11^h 41^m66.

Auch hier folgt neuerliche Zunahme der Pendelbewegung, A_m aber nur 1·0 mm.

Nr. 26. 13. Februar 1902:

- N*... Von 15^h 42^m54 bis 15^h 47^m01 Anschwellung,
A 1·2 mm.
V... Von 15^h 38^m20 bis 15^h 44^m61 Anschwellung,
A 0·9 mm.
E... Ruhig.

Nr. 27. 13. Februar 1902:

- <> *N*... B. 17^h 36^m95; *M*₁ 17^h 41^m92, *A*₁ 1·8 mm;
*M*₂ 17^h 46^m63, *A*₂ 1·8 mm;
Max. 17^h 53^m54, *A*_m 4·7 mm;
E. 18^h 11^m51.
V... B. 17^h 35^m96; *M*₁ 17^h 42^m32, *A*₁ 1·0 mm;
Max. 17^h 54^m08, *A*_m 1·7 mm;
E. 18^h 7^m90.
E... B. 17^h 34^m84; Max. 17^h 42^m73, *A*_m 1·9 mm;
E. 18^h 7^m61.

Nr. 28. 13. Februar 1902:

- N*... Zwischen 20^h 24^m79 und 20^h 39^m30 einige schwache
Anschwellungen, *A*_m 1·0 mm.
V... Von 20^h 26^m02 bis 20^h 36^m66 schwache Anschwel-
lungen, *A*_m 0·8 mm.
E... Ruhig.

Nr. 29. 14. Februar 1902:

- > *N*... B. 0^h 32^m53; *M*₁ 0^h 34^m19, *A*₁ 2·2 mm;
Max. 0^h 40^m41, *A*_m 2·6 mm; E. 1^h 3^m23.
V... Ruhig.
E... Tagsüber mikroseismische Unruhe.

Nr. 30. 15. Februar 1902:

- <> *N*... B. 10^h 15^m27; Max. 10^h 26^m36 bis 10^h 30^m24,
*A*_m 1·8 mm; E. 10^h 53^m79.
V... Schwache Knotenbildung.
E... Tagsüber mikroseismisch bewegt.

Nr. 31. 15. Februar 1902:

(> N... B. 11^h 22^m06; M_1 11^h 22^m76, A_1 1·3 mm;
 M_2 11^h 26^m94, A_2 2·7 mm;
 M_3 11^h 31^m83, A_3 3·3 mm;
Max. 11^h 36^m72, A_m 4·2 mm;
 M_5 11^h 47^m60, A_5 2·3 mm;

E. durch Streifenabnahme gestört.

V... B. 11^h 22^m31; M_1 11^h 23^m30, A_1 1·0 mm;
Max. 11^h 37^m26, A_m 1·2 mm;
E. 11^h 41^m44.

E... Tagsüber mikroseismische Unruhe.

Nr. 32. 15. Februar 1902:

N... B. und E. unbestimmbar. Von 22^h 54^m82 bis
23^h 9^m75 stärkere Anschwellung; Max. 23^h 0^m49
mit A_m 3·7 mm.

V... Kontinuierliche Unruhe.

E... » »

Nr. 33. 17. Februar 1902:

Tagsüber äußerst starke mikroseismische Unruhe, infolge-
dessen B. und E. der seismischen Störung nicht angebar.

> N... Max. 1^h 53^m63, A_m 12·1 mm;
 M_2 2^h 1^m91, A_2 5·0 mm;
 M_3 2^h 7^m23, A_3 4·0 mm;
 M_4 2^h 18^m92, A_4 4·5 mm;
 M_5 2^h 32^m21, A_5 6·5 mm.

V... Max. 1^h 53^m49, A_m 3·8 mm;
 M_2 2^h 27^m60, A_2 3·0 mm;

E... Starke mikroseismische Unruhe durch den ganzen
Tag andauernd.

Nr. 34. 19. Februar 1902:

(> N... B. 15^h 51^m19; M_1 15^h 51^m90, A_1 1·3 mm;
Max. 15^h 59^m30, A_m 2·4 mm;
E. unbestimmbar.
V... Mikroseismische Unruhe.
E... » » »

Nr. 35. 20. Februar 1902:

N... Tagsüber mikroseismisch bewegt.
V... » » »
E... Von 3^h 12^m56 bis 3^h 27^m66 Anschwellung;
Max. bei 3^h 12^m70, A_m 2·0 mm, und von 3^h 20^m80
bis 3^h 23^m54, A_m 2·1 mm.

Nr. 36. 20. Februar 1902:

<> N... B. 16^h 52^m88; M_1 16^h 54^m28, A_1 1·1 mm;
Max. 17^h 2^m69, A_m 2·4 mm;
 M_3 17^h 10^m25, A_3 2·0 mm;
 M_4 17^h 16^m70, A_4 2·2 mm;
folgen mehrere fast ebenso starke Stöße bis
17^h 25^m12; hierauf neuerliche Zunahme mit
 M_5 17^h 47^m55, A_5 2·3 mm; E. 18^h 8^m58.
V... B. 16^h 53^m70; M_1 16^h 54^m82, A_1 1·4 mm;
sodann Abnahme; von 17^h 22^m01 wieder Zunahme mit
Max. 17^h 25^m37, A_m 2·0 mm; E. 17^h 38^m27.
E... Tagsüber mikroseismische Unruhe.

Nr. 37. 21. Februar 1902:

N... Bei 7^h 31^m96 Beginn einer Anschwellung;
Max. 7^h 42^m12 bis 7^h 43^m38, A_m 1·8 mm;
E. unbestimmbar.
V... Sehr schwach bewegt.

» » »

Nr. 38. 22. Februar 1902:

$<>$ N... B. $7^h 59^m 16$; Max. $8^h 6^m 95$, $A_m 2 \cdot 3 \text{ mm}$; E. $8^h 30^m 06$.
 V... Tagsüber schwach bewegt.
 E... Tagsüber stärker bewegt.

Nr. 39. 24. Februar 1902:

N... B. und E. unbestimmbar; von $6^h 39^m 79$ bis $7^h 22^m 15$
 Maxima der Anschwellungen mit $1 \cdot 5 \text{ mm}$.
 V... Tagsüber mikroseismisch unruhig.
 E... » » »

Nr. 40. 25. Februar 1902:

$<>$ N... Zwischen $10^h 59^m 12$ und $11^h 18^m 67$ eine Verdickung
 der Kurve mit $A_m 1 \cdot 8 \text{ mm}$.
 V... Tagsüber schwache-mikroseismische Bewegung.
 E... » » » »

Nr. 41. 25. Februar 1902:

> N... B. $16^h 52^m 09$; $M_1 16^h 52^m 65$, $A_1 1 \cdot 2 \text{ mm}$;
 Max. $16^h 59^m 54$, $A_m 4 \cdot 3 \text{ mm}$;
 $M_3 17^h 6^m 85$, $A_3 2 \cdot 9 \text{ mm}$;
 E. $18^h 2^m 98$.
 V... B. $16^h 58^m 42$; $M_1 16^h 58^m 97$, $A_1 1 \cdot 7 \text{ mm}$;
 Max. $17^h 7^m 25$, $A_m 2 \cdot 3 \text{ mm}$;
 E. unbestimmbar.
 E... Starke andauernde Unruhe.

Nr. 42. 26. Februar 1902:

$<>$ N... B. $16^h 32^m 68$; $M_1 16^h 33^m 36$, $A_1 1 \cdot 3 \text{ mm}$;
 $M_2 16^h 45^m 37$, $A_2 1 \cdot 4 \text{ mm}$;
 Max. $17^h 4^m 04$, $A_m 2 \cdot 1 \text{ mm}$;
 von $17^h 12^m 91$ wieder etwas stärkere Stöße mit
 $A_m 1 \cdot 8 \text{ mm}$ bis $17^h 24^m 91$; E. $17^h 41^m 27$.

V... B. $16^h 32^m 95$; Max. $16^h 54^m 77$, $A_m 1 \cdot 0 \text{ mm}$;
 E. $17^h 9^m 08$.

E... Kontinuierliche Unruhe.

E. Mazelle.

Nr. 43. 1. März 1902:

$<>$ N... B. $1^h 34^m 58$; M_1 $1^h 37^m 43$, A_1 $1 \cdot 7 \text{ mm}$;
 M_2 $2^h 3^m 09$, A_2 $2 \cdot 7 \text{ mm}$;
 M_3 $2^h 11^m 92$, A_3 $3 \cdot 0 \text{ mm}$;
Max. $2^h 25^m 89$, A_m $3 \cdot 4 \text{ mm}$; E. $3^h 4^m 37$.
V... B. $1^h 34^m 83$; M_1 $1^h 37^m 68$, A_1 $1 \cdot 1 \text{ mm}$;
Max. $1^h 59^m 35$, A_m $1 \cdot 3 \text{ mm}$; E. $2^h 22^m 15$.
E... Starke andauernde mikroseismische Unruhe.

Nr. 44. 3. März 1902:

Knotenförmige Bildungen:

N... Von $12^h 3^m 51$ bis $12^h 4^m 49$;
Max. $12^h 3^m 93$, A_m $1 \cdot 5 \text{ mm}$.
V... Von $12^h 3^m 49$ bis $12^h 5^m 88$;
Max. $12^h 4^m 47$, A_m $1 \cdot 4 \text{ mm}$.
E... Von $12^h 3^m 06$ bis $12^h 4^m 60$;
Max. $12^h 4^m 18$, A_m $1 \cdot 4 \text{ mm}$.

Nr. 45. 5. März 1902:

$(>)$ N... B. $8^h 7^m 79$; Max. $8^h 8^m 74$, A_m $1 \cdot 1 \text{ mm}$;
E. unbestimmbar.
V... B. $8^h 7^m 91$; Max. $8^h 9^m 28$, A_m $1 \cdot 4 \text{ mm}$; E. $8^h 20^m 66$.
E... B. $8^h 8^m 04$; Max. $8^h 9^m 13$, A_m $1 \cdot 5 \text{ mm}$; E. $8^h 28^m 58$.

Nr. 46. 5. März 1902:

$(>)$ N... B. $20^h 17^m 73$; M_1 $20^h 19^m 66$, A_1 $2 \cdot 3 \text{ mm}$;
 M_2 $20^h 23^m 38$, A_2 $2 \cdot 5 \text{ mm}$;
 M_3 $20^h 25^m 72$, A_3 $3 \cdot 7 \text{ mm}$;
Max. $20^h 28^m 33$, A_m $3 \cdot 8 \text{ mm}$;
 M_5 $20^h 33^m 70$, A_5 $3 \cdot 2 \text{ mm}$;
 M_6 $20^h 40^m 58$, A_6 $2 \cdot 4 \text{ mm}$;

folgen schwächere Stöße, dann wieder stärkere von
 $20^h 49^m 38$ an, darunter

M_7 $21^h 0^m 12$, A_7 $3 \cdot 4 \text{ mm}$; E. $22^h 24^m 07$.

V... B. 20^h 17^m86; M_1 20^h 19^m38, A_1 1·1 mm;
 M_2 20^h 23^m78, A_2 2·0 mm;
 Max. 20^h 25^m99, A_m 3·8 mm;

folgen mehrere schwächere Stöße mit A_m 2·0 mm;
 von 20^h 55^m85 neue Verstärkung mit

M_4 20^h 57^m63, A_4 2·2 mm; E. 21^h 28^m19.

E... B. 20^h 18^m12; Max. 20^h 22^m94, A_m 2·4 mm;
 E. wegen andauernder mikroseismischer Unruhe
 nicht bestimmbar.

Nr. 47. 5. März 1902:

<> *N...* B. 23^h 46^m47; Max. 23^h 58^m05, A_m 2·0 mm;
 E. 24^h 18^m89.

V... B. 23^h 47^m97; Max. 24^h 0^m80, A_m 1·2 mm;
 E. 24^h 21^m50.

E... Kontinuierliche mikroseismische Unruhe.

Nr. 48. 6. März 1902:

> *N...* B. 0^h 32^m14; Max. 0^h 36^m25, A_m 6·8 mm;
 E. 0^h 59^m76.

V... B. 0^h 32^m68; Max. 0^h 35^m43, A_m 2·0 mm;
 M_2 0^h 38^m02, A_2 1·9 mm;
 E. 1^h 0^m30.

E... B. 0^h 32^m39; Max. 0^h 34^m05 bis 0^h 35^m27, A_m 3·4 mm;
 E. unbestimmbar.

Nr. 49. 7. März 1902:

<> *N...* B. 20^h 13^m13; Max. 20^h 20^m52, A_m 2·0 mm;
 E. 20^h 43^m48.

V... B. 20^h 13^m80; Max. 20^h 20^m79 bis 20^h 22^m15,
 A_m 1·0 mm; E. 20^h 39^m92

E... Tagsüber mikroseismisch unruhig.

Nr. 50. 7. März 1902.

- (> N... B. 20^h 59^m45; Max. 21^h 1^m25, A_m 1·8 mm;
E. unbestimmbar.
V... B. 21^h 0^m42; Max. 21^h 2^m47, A_m 1·4 mm; E. 21^h 5^m88.
E... Tagsüber mikroseismisch unruhig.

Nr. 51. 9. März 1902:

- > N... B. 8^h 47^m88; M_1 8^h 48^m70, A_1 1·2 mm;
 M_2 8^h 52^m00, A_2 2·3 mm;
Max. 8^h 55^m44, A_m 23·5 mm;
 M_4 8^h 59^m42, A_4 18·4 mm;
 M_5 9^h 1^m47, A_5 11·4 mm;
 M_6 9^h 15^m20, A_6 4·6 mm;
E. 9^h 53^m79.
V... B. 8^h 47^m74; M_1 8^h 48^m42, A_1 1·1 mm;
 M_2 8^h 52^m13, A_2 2·4 mm;
 M_3 8^h 54^m06, A_3 5·5 mm;
Max. 8^h 56^m66, A_m 17·0 mm;
 M_5 9^h 0^m64, A_5 5·2 mm;
 M_6 9^h 3^m11, A_6 4·4 mm;
E. 9^h 48^m84.
E... B. 8^h 47^m72; M_1 8^h 48^m68, A_1 1·6 mm;
Max. 8^h 53^m48 bis 8^h 55^m55, A_m 6·6 mm;
 M_3 8^h 58^m15, A_3 4·3 mm;
 M_4 9^h 4^m61, A_4 3·0 mm;
E. unbestimmbar.

Nr. 52. 10. März 1902:

- <> N... B. 5^h 25^m85; M_1 5^h 28^m32, A_1 1·8 mm;
 M_2 5^h 38^m03, A_2 2·2 mm;
Max. 5^h 47^m45, A_m 2·3 mm;
 M_4 5^h 54^m55, A_4 1·9 mm;
 M_5 6^h 18^m62, A_5 1·9 mm; E. 7^h 9^m88.
V... Zwischen 5^h 33^m65 und 5^h 47^m04 einige kleine
Stöße mit A_m 0·8 mm.
Dauernde mikroseismische Unruhe.

Nr. 53. 11. März 1902:

- > N... B. 20^h 13^m67; M_1 20^h 14^m35, A_1 2·4 mm;
 M_2 20^h 15^m57, A_2 4·0 mm;
Max. 20^h 19^m95, A_m 4·7 mm;
 M_4 20^h 28^m67, A_4 3·0 mm;
 M_5 20^h 34^m12, A_5 2·7 mm;
E. 21^h 19^m12.
V... B. 20^h 14^m21; Max. 20^h 15^m57 bis 20^h 19^m12,
 A_m 1·4 mm; E. 20^h 56^m48.
E... B. 20^h 13^m92; Max. 20^h 16^m91, A_m 2·8 mm;
E. unbestimmbar.

Nr. 54. 12. März 1902:

- > N... B. 10^h 2^m05; M_1 10^h 2^m75, A_1 3·2 mm;
Max. 10^h 19^m50, A_m 3·3 mm;
 M_3 10^h 36^m24, A_3 2·4 mm;
E. 11^h 11^m12.
V... B. 10^h 2^m17; Max. 10^h 2^m59; A_m 1·9 mm;
 M_2 10^h 7^m19, A_2 1·5 mm;
E. 11^h 10^m26.
E... Von 9^h 54^m91 bis 10^h 53^m23 Anschwellung der
Kurve mit Max. 10^h 8^m58, A_m 2·0 mm.

Nr. 55. 12. März 1902:

- (> N... B. 16^h 24^m70; M_1 16^h 24^m99, A_1 1·7 mm;
 M_2 16^h 35^m27, A_2 2·0 mm;
 M_3 16^h 41^m66, A_3 2·5 mm;
Max. 17^h 2^m50, A_m 2·6 mm;
E. 17^h 55^m26.
V... B. 16^h 24^m42; M_1 16^h 25^m24, A_1 2·1 mm;
 M_2 16^h 27^m20, A_2 3·4 mm;
Max. 16^h 29^m55, A_m 3·7 mm;
 M_4 16^h 34^m70, A_4 2·2 mm;
 M_5 16^h 36^m50, A_5 2·1 mm;
 M_6 16^h 42^m20, A_6 1·7 mm;
 M_7 16^h 51^m92, A_7 1·3 mm;
E. 17^h 59^m98.

E... B. 16^h 24^m40; M_1 16^h 24^m95, A_1 1·8 mm;
Max. 16^h 28^m71, A_m 4·2 mm;
E. unbestimmbar.

Nr. 56. 12. März 1902:

(> *N...* B. 20^h 45^m18; M_1 20^h 46^m27, A_1 1·6 mm;
 M_2 20^h 48^m46, A_2 2·0 mm;
Max. 20^h 51^m87, A_m 3·3 mm;
E. 21^h 24^m82.

V... B. 20^h 45^m72; Max. 20^h 51^m60, A_m 1·7 mm;
E. 21^h 25^m36.

E... B. und E. unbestimmbar; Max. von 20^h 49^m26 bis
20^h 51^m31, A_m 1·8 mm.

Nr. 57. 14. März 1902:

<> *N...* B. 22^h 55^m17; M_1 22^h 58^m18, A_1 1·4 mm;
Max. 23^h 3^m13, A_m 1·8 mm;
 M_3 23^h 13^m25, A_3 1·7 mm;

hierauf mehrere fast gleiche Stöße bis 23^h 41^m48;
E. 23^h 56^m55.

V... Von 22^h 55^m17 bis 23^h 26^m92 schwache Knoten-
bildungen mit A_m 1·0 mm.

E... Tagsüber mikroseismische Unruhe, während der
Störung A_m 1·8 mm.

Nr. 58. 16. März 1902:

> *N...* B. 3^h 47^m56; Max. 3^h 48^m96, A_m 2·4 mm;
E. unbestimmbar.

V... B. 3^h 47^m80; Max. 3^h 48^m24, A_m 1·0 mm;
E. unbestimmbar.

E... B. 3^h 47^m51; Max. 3^h 48^m23, A_m 2·0 mm;
 M_2 3^h 55^m36, A_2 1·6 mm;
unbestimmbar.

Nr. 59. 17. März 1902:

$<> N \dots$ B. $12^h 30^m 79$; M_1 $12^h 36^m 60$, A_1 $2 \cdot 2 mm$;
 M_2 $12^h 39^m 77$, A_2 $3 \cdot 0 mm$;
 Max. $12^h 50^m 42$, A_m $3 \cdot 2 mm$;
 M_4 $13^h 16^m 69$, A_4 $1 \cdot 9 mm$;
 E. $14^h 13^m 37$.
 $V \dots$ B. $12^h 31^m 20$; M_1 $12^h 31^m 61$, A_1 $1 \cdot 2 mm$;
 M_2 $12^h 37^m 69$, A_2 $1 \cdot 3 mm$;
 M_3 $12^h 41^m 43$, A_3 $1 \cdot 3 mm$;

folgen noch einige schwächere Stöße bis $13^h 7^m 55$
 mit $A 1 \cdot 0 mm$; E. wegen leichter andauernder
 Unruhe nicht bestimmbar.

$E \dots$ Tagsüber starke mikroseismische Unruhe; zur Zeit
 der Störung mit $A_m 2 \cdot 5 mm$.

Nr. 60. 18. März 1902:

$<> N \dots$ B. $22^h 14^m 19$; Max. $22^h 24^m 34$ und $22^h 27^m 21$,
 $A_m 1 \cdot 4 mm$; E. $22^h 44^m 06$.

$V \dots$ Tagsüber leichte mikroseismische Unruhe.

$E \dots$ » » » » »

Nr. 61. 20. März 1902:

$(> N \dots$ B. $3^h 22^m 77$; M_1 $3^h 24^m 45$, A_1 $2 \cdot 0 mm$;
 Max. $3^h 27^m 38$, A_m $2 \cdot 2 mm$;
 M_3 $3^h 46^m 50$, A_3 $1 \cdot 8 mm$;
 M_4 $3^h 58^m 77$, A_4 $1 \cdot 8 mm$;
 M_5 $4^h 7^m 56$, A_5 $1 \cdot 9 mm$; E. $4^h 43^m 42$.

$V \dots$ Knotenförmige Anschwellungen mit

M_1 $3^h 23^m 03$, A_1 $1 \cdot 2 mm$;
 Max. $3^h 47^m 18$, A_m $1 \cdot 6 mm$;

$E \dots$ Kontinuierliche mikroseismische Unruhe.

Nr. 62. 22. März 1902:

$<> N\dots$ B. $8^h 21^m 92$; doch bei $7^h 55^m 29$ bereits Beginn einer schwachen vorausgehenden Unruhe. Von $9^h 3^m 80$ an wird die Bewegung überhaupt stärker;

Max. $9^h 13^m 96$ und $9^h 25^m 49$, $A_m 2 \cdot 5 \text{ mm}$;
E. $10^h .3^m 94$.

$V\dots$ Tagsüber mikroseismisch bewegt.

$E\dots$ » » »

Nr. 63. 22. und 23. März 1902:

$<> N\dots$ B. $23^h 44^m 04$; $M_1 23^h 45^m 44$, $A_1 1 \cdot 9 \text{ mm}$;
 $M_2 23^h 47^m 94$, $A_2 2 \cdot 5 \text{ mm}$;
 $M_3 0^h 1^m 02$, $A_3 2 \cdot 6 \text{ mm}$;
 $M_4 0^h 6^m 04$, $A_4 3 \cdot 7 \text{ mm}$;
 $M_5 0^h 11^m 43$, $A_5 3 \cdot 3 \text{ mm}$;
 Max. $0^h 20^m 01$, $A_m 6 \cdot 6 \text{ mm}$;
 $M_7 0^h 33^m 55$, $A_7 4 \cdot 2 \text{ mm}$;
 $M_8 0^h 57^m 74$, $A_8 2 \cdot 7 \text{ mm}$;
 E. $1^h 35^m 76$.

$V\dots$ Fortwährende starke mikroseismische Unruhe.

$E\dots$ » » »

Nr. 64. 24. März 1902:

$> N\dots$ B. $19^h 9^m 52$; Max. $19^h 9^m 81$, $A_m 3 \cdot 2 \text{ mm}$;
 $M_2 19^h 16^m 66$, $A_2 3 \cdot 0 \text{ mm}$;
 $M_3 19^h 22^m 70$, $A_3 3 \cdot 0 \text{ mm}$;
 $M_4 19^h 29^m 56$, $A_4 2 \cdot 8 \text{ mm}$;
 $M_5 19^h 47^m 14$, $A_5 1 \cdot 9 \text{ mm}$;
 E. $19^h 59^m 50$.

$V\dots$ B. $19^h 9^m 24$; $M_1 19^h 10^m 88$, $A_1 2 \cdot 4 \text{ mm}$;
 Max. $19^h 12^m 25$, $A_m 2 \cdot 6 \text{ mm}$;
 $M_3 19^h 16^m 10$, $A_3 2 \cdot 2 \text{ mm}$;
 E. $19^h 42^m 19$.

Nr. 65. 25. März 1902:

(> N... B. 4^h 53^m26; M_1 4^h 55^m36, A_1 2·7 mm;
Max. 5^h 5^m96, A_m 3·9 mm;

von 5^h 29^m68 bis 5^h 47^m82 eine neue Reihe
schwächerer Stöße mit A_m 1·6 mm; E. 5^h 50^m60.

V... B. 4^h 53^m93; M_1 4^h 54^m76, A_1 1·4 mm;
 M_2 5^h 0^m91, A_2 1·4 mm; E. 5^h 24^m35.

E... Kontinuierliche Unruhe, A_m 1·9 mm.

Nr. 66. 28. März 1902:

<> N... B. 7^h 25^m85; M_1 7^h 29^m77, A_1 1·3 mm;
Max. 7^h 38^m15, A_m 1·7 mm; E. 8^h 13^m11.

V... Schwache Unruhe:

E... > >

Nr. 67. 28. März 1902:

(> N... B. 10^h 42^m70; M_1 10^h 49^m84, A_1 2·6 mm;
Max. 10^h 59^m42, A_m 3·8 mm;

von 11^h 10^m38 bis 11^h 40^m51 mehrere schwächere
Stöße mit A_m 2·2 mm; E. unbestimmbar.

V... Von 10^h 48^m72 bis 11^h 3^m24 mehrere knotenförmige
Bildungen; Max. 10^h 54^m20, A_m 1·3 mm.

E... Von 10^h 49^m01 bis 11^h 21^m89 knotenförmige An-
schwellungen; Max. 10^h 54^m49, A_m 1·7 mm.

Nr. 68. 28. März 1902:

(> N... B. 15^h 57^m92; M_1 15^h 59^m03, A_1 1·8 mm;
 M_2 16^h 3^m22, A_2 4·8 mm;
 M_3 16^h 10^m10, A_3 14·5 mm;
Max. 16^h 15^m57, A_m 21·6 mm;
 M_5 16^h 19^m10, A_5 19·0 mm;
 M_6 16^h 24^m83, A_6 7·0 mm;

M_7 16^h 30^m 41, A_7 10·8 mm;
 M_8 16^h 36^m 01, A_8 12·2 mm;
 M_9 16^h 40^m 10, A_9 7·2 mm;
 M_{10} 16^h 52^m 37, A_{10} 6·2 mm;
 M_{11} 17^h 0^m 82, A_{11} 10·2 mm;
 M_{12} 17^h 8^m 77, A_{12} 6·0 mm;
 M_{13} 17^h 17^m 31, A_{13} 5·0 mm;

hierauf immer schwächer werdende Stöße bis 17^h 57^m 04. Bei 17^h 58^m 42 Beginn einer neuen Serie von Schwingungen, darunter

M_{14} 18^h 5^m 73, A_{14} 3·1 mm;
 M_{15} 18^h 46^m 82, A_{15} 3·3 mm;
E. unbestimmbar.

V... B. 15^h 58^m 72; M_1 16^h 0^m 68, A_1 1·2 mm;
 M_2 16^h 3^m 47, A_2 3·6 mm;
 M_3 16^h 9^m 94, A_3 8·8 mm;
 M_4 16^h 13^m 62, A_4 8·5 mm;
Max. 16^h 19^m 62, A_m 15·9 mm;
 M_6 16^h 23^m 04, A_6 8·7 mm;
 M_7 16^h 29^m 30, A_7 4·8 mm;
 M_8 16^h 42^m 66, A_8 3·6 mm;
 M_9 16^h 49^m 90, A_9 3·0 mm;

es folgen noch einige mindere Stöße; eine neuere Verdickung von 16^h 58^m 07 bis 17^h 55^m 35, A_m 1·2 mm.

E... B. 16^h 0^m 97; M_1 16^h 3^m 76, A_1 3·0 mm;
 M_2 16^h 6^m 55, A_2 3·4 mm;
Max. 16^h 13^m 09, A_m 5·2 mm;
 M_4 16^h 19^m 91, A_4 3·8 mm;
 M_5 16^h 23^m 19, A_5 3·2 mm;

abermalige Zunahme der Schwingungen von 17^h 2^m 31 bis 17^h 28^m 37;

M_6 17^h 6^m 54, A_6 3·2 mm;
E. unbestimmbar.

Nr. 69. 28. März 1902:

(> N... B. $21^h 15^m 67$; M_1 $21^h 17^m 05$, A_1 $2 \cdot 0 \text{ mm}$;
 M_2 $21^h 20^m 08$, A_2 $3 \cdot 0 \text{ mm}$;
Max. $21^h 29^m 46$, A_m $3 \cdot 2 \text{ mm}$;
E. $22^h 12^m 22$.

V... Schwache Verdickung der Kurve zwischen $21^h 13^m 86$
und $21^h 58^m 68$ mit A_m $1 \cdot 2 \text{ mm}$.

E... Kontinuierliche Unruhe; A_m $1 \cdot 2 \text{ mm}$.

Nr. 70. 2. April 1902:

(> N... B. $6^h 15^m 41$; Max. $6^h 19^m 23$, A_m $3 \cdot 2 \text{ mm}$; E. $6^h 47^m 26$.
V... Ruhig.

E... Kontinuierliche mikroseismische Unruhe.

Nr. 71. 2. April 1902:

(> N... B. $8^h 13^m 49$; Max. $8^h 16^m 96$, A_m $2 \cdot 5 \text{ mm}$; E. $8^h 39^m 60$
V... Ruhig.
E... Anhaltende mikroseismische Bewegung.

Nr. 72. 3. April 1902:

<> N... Zwischen $11^h 30^m 87$ und $11^h 52^m 95$ eine Anschwelling mit Max. von $11^h 34^m 45$ bis $11^h 41^m 98$.
 A_m $2 \cdot 0 \text{ mm}$.

V... Ruhig.

E... Kaum bemerkbare Unruhe.

Nr. 73. 3. April 1902:

N... Von $18^h 31^m 09$ bis $18^h 33^m 16$ sehr schwache Anschwellung.

V... Bei $18^h 31^m 07$, A $1 \cdot 0 \text{ mm}$.

E... Mikroseismisch bewegt.

Nr. 74. 3. April 1902:

N... Von 22^h 48^m01 bis 23^h 12^m04 kleine Anschwellung,

Max. 22^h 54^m47 bis 22^h 57^m21, A_m 1·5 mm.

V... Von 22^h 49^m49 bis 22^h 59^m65 sehr schwache Anschwellung, A_m 0·9 mm.

E... Unruhig.

Nr. 75. 4. April 1902:

<> *N...* B. 5^h 4^m33; M_1 5^h 8^m11, A_1 1·8 mm;
Max. 5^h 32^m24, A_m 2·0 mm; E. 5^h 58^m06.

V... Ruhig.

E... Fast ruhig.

Nr. 76. 5. April 1902:

(> *N...* B. 20^h 17^m52; M_1 20^h 18^m47, A_1 1·6 mm,
 M_2 20^h 19^m16, A_2 2·2 mm;
Max. 20^h 24^m10, A_m 2·8 mm;
von 20^h 36^m71 bis 21^h 1^m37 eine zweite schwächere Anschwellung mit A_m 1·5 mm; E. 21^h 12^m32.

V... Von 20^h 17^m77 bis 20^h 45^m17 schwache Stöße, A_m 1·2 mm.

E... Leichte anhaltende Unruhe.

Nr. 77. 7. April 1902:

(> *N...* B. 7^h 38^m48; Max. 7^h 39^m74, A_m 2·2 mm; E. 7^h 55^m51.
V... B. 7^h 38^m59; Max. 7^h 41^m66, A_m 1·3 mm;
E. unbestimmbar.
E... Tagsüber mikroseismisch bewegt.

Nr. 78. 7. April 1902:

<> *N...* B. und E. infolge mikroseismischer Unruhe nicht bestimmbar.

M_1 14^h 16^m89, A_1 1·6 mm;

M_2 14^h 28^m46, A_2 2·3 mm;

Max. 14^h 32^m54 und 14^h 42^m06, A_m 2·7 mm.

- V...* M_1 14^h 17^m 14, A_1 1·0 mm;
 Max. 14^h 33^m 20, A_m 2·0 mm;
 M_3 14^h 42^m 17, A_3 1·3 mm;
E... Anhalende mikroseismische Unruhe.

Nr. 79. 9. April 1902:

- N...* Von 9^h 24^m 05 bis 9^h 50^m 26 Anschwellung;
 Max. 9^h 28^m 19 bis 9^h 30^m 25, A_m 1·6 mm.

- V...* Kaum bemerkbare Unruhe.
E... Tagsüber bewegt.

Nr. 80. 9. April 1902:

- > *N...* B. 20^h 32^m 02; Max. 20^h 32^m 98, A_m 1·4 mm;
 E. 20^h 57^m 31.
V... Zwischen 20^h 31^m 99 und 20^h 47^m 19 eine sehr schwache Anschwellung mit kaum A_m 1·0 mm.
E... Ruhig.

Nr. 81. 11. April 1902:

- > *N...* B. 20^h 7^m 27; M_1 20^h 8^m 09, A_1 1·2 mm;
 Max. 20^h 8^m 78, A_m 5·7 mm;
 M_3 20^h 10^m 27, A_3 3·5 mm;
 M_4 20^h 12^m 60, A_4 4·8 mm;
 M_5 20^h 16^m 43, A_5 3·5 mm;
 E. 20^h 49^m 37.
V... B. 20^h 8^m 07; M_1 20^h 8^m 47, A_1 1·7 mm;
 Max. 20^h 9^m 84, A_m 3·0 mm;
 M_3 20^h 12^m 17, A_3 2·0 mm;
 M_4 20^h 17^m 22, A_4 1·8 mm;
 E. 20^h 37^m 32.
E... B. 20^h 8^m 36; M_1 20^h 8^m 63, A_1 2·1 mm;
 Max. 20^h 10^m 27, A_m 3·1 mm;
 E. 20^h 51^m 27.

Nr. 82. 12. April 1902:

<> N... B. 1^h 1^m06; M_1 1^h 4^m17, A_1 1·3 mm;
 M_2 1^h 14^m10, A_2 2·5 mm;
 M_3 1^h 20^m90, A_3 3·5 mm;
 Max. 1^h 29^m42, A_m 4·7 mm;
 M_5 1^h 38^m78, A_5 3·6 mm;
 M_6 1^h 53^m12, A_6 2·4 mm;
 M_7 2^h 5^m17, A_7 2·7 mm;
 M_8 2^h 10^m41, A_8 2·6 mm;
 M_9 2^h 19^m36, A_9 3·0 mm; E. 2^h 59^m07.
 V... B. 1^h 0^m88; M_1 1^h 7^m97, A_1 1·0 mm;
 M_2 1^h 13^m21, A_2 2·0 mm;
 Max. 1^h 18^m18, A_m 2·9 mm;
 M_4 1^h 28^m54, A_4 2·2 mm;

folgen noch einige schwächere Stöße; E. 2^h 28^m09.

E... Anhaltende schwache Unruhe; A_m 1·5 mm.

Nr. 83. 13. April 1902:

N... Schwache Anschwellung,

B. 23^h 18^m60; Max. 23^h 39^m75, A_m 1·3 mm; E. bei 24^h.

V... Ruhig.

E... Von 23^h 35^m07 bis 23^h 40^m56, A 1·4 mm.

Nr. 84. 17. April 1902:

<> N... B. 22^h 17^m84; M_1 22^h 22^m62, A_1 1·2 mm;
 M_2 22^h 28^m62, A_2 2·4 mm;
 Max. 22^h 37^m62, A_m 4·0 mm;
 M_4 22^h 44^m06, A_4 3·2 mm;
 M_5 22^h 49^m89, A_5 3·2 mm;
 E. 23^h 28^m07.

V... B. 22^h 17^m82; M_1 22^h 25^m06, A_1 1·0 mm;
 Max. 22^h 28^m33, A_m 1·7 mm;

folgen mehrere schwächere Stöße bis 22^h 50^m14;
 E. 23^h 5^m14.

dauert bis gegen 7 Uhr fort.

5. 15. 91 noch A 1.5 mm; schwache Unruhe folgt eine Reihe schwacher wellenloser Stoße; bei

M₁₀ 4.34 m 48, A₁₀ 4.6 mm;
M₉ 4.22 m 34, A₉ 8.7 mm;
M₈ 4.16 m 34, A₈ 13.0 mm;
M₇ 4.11 m 87, A₇ 17.0 mm;
M₆ 3.57 m 51, A₆ 16.5 mm;
M₅ 3.54 m 30, A₅ 19.2 mm;
Max. 3.49 m 27, A_m 23.0 mm;
M₃ 3.42 m 86, A₃ 10.0 mm;
M₂ 3.40 m 90, A₂ 7.2 mm;
V... B. 3.36 m 85; M₁ 3.37 m 28, A₁ 4.3 mm;

Unruhe dauert bis gegen 7 Uhr fort.

Stoße, bei 5.57 m 95 noch A 2.0 mm; schwache hierauf noch eine Reihe an Intensität abnehmender

M₁₁ 5.3 m 25, A₁₁ 4.2 mm;
M₁₀ 4.52 m 37, A₁₀ 7.7 mm;
M₉ 4.39 m 82, A₉ 10.2 mm;
M₈ 4.32 m 41, A₈ 16.8 mm;
M₇ 4.26 m 83, A₇ 23.5 mm;
M₆ 4.16 m 65, A₆ 23.8 mm;
M₅ 4.10 m 51, A₅ 37.5 mm;
M₄ 3.56 m 98, A₄ 20.4 mm;
Max. 3.48 m 89, A_m 38.0 mm;
M₃ 3.46 m 51, A₃ 13.0 mm;
< N... B. 3.36 m 88; M₁ 3.37 m 86, A₁ 13.2 mm;

Nr. 85. 19. April 1902:

E. 22. 17 m 70; M₁ 22.24 m 25, A₁ 2.5 mm;
M₂ 22.29 m 44, A₂ 2.5 mm;
M₃ 22.50 m 57, A₃ 1.6 mm;
E. 23.20 m 43.

E. M.azelle, Erdbebenstotungen zu Tliest 1

Mittteilungen der Erdbeben-Kommission.

- Nr. 86. April 1902:
- E. . . . B. $3\frac{1}{2}$ 37 $\frac{1}{2}$ 28; M_1 3 $\frac{1}{2}$ 38 $\frac{1}{2}$ 54, A_1 2.4 mm;
 M_2 3 $\frac{1}{2}$ 41 $\frac{1}{2}$ 33, A_2 4.6 mm;
 M_3 3 $\frac{1}{2}$ 48 $\frac{1}{2}$ 87, A_3 9.0 mm;
 M_4 3 $\frac{1}{2}$ 51 $\frac{1}{2}$ 94, A_4 6.5 mm;
 M_5 4 $\frac{1}{2}$ 2 $\frac{1}{2}$ 68, A_5 3.5 mm;
 M_6 4 $\frac{1}{2}$ 10 $\frac{1}{2}$ 63, A_6 4.5 mm;
 M_7 4 $\frac{1}{2}$ 12 $\frac{1}{2}$ 45, A_7 3.8 mm;
- <> N. . . . B. 18 $\frac{1}{2}$ 49 $\frac{1}{2}$ 58; Max. 19 $\frac{1}{2}$ 0 $\frac{1}{2}$ 92, A_m 1.7 mm;
E. 19 $\frac{1}{2}$ 49 $\frac{1}{2}$ 72.
V. . . . B. 18 $\frac{1}{2}$ 53 $\frac{1}{2}$ 25; Max. 18 $\frac{1}{2}$ 57 $\frac{1}{2}$ 35, A_m 1.6 mm;
E. 19 $\frac{1}{2}$ 49 $\frac{1}{2}$ 29.
E. . . . Tagssünder mikroseismisch unruhig.
N. . . . Schwache Ansehwellinge, B. und E. und E. unbestimmt;
- Nr. 87. 22. April 1902:
- V. . . . B. 17 $\frac{1}{2}$ 31 $\frac{1}{2}$ 67, A_m 2.0 mm.
E. . . . Etwas bewegt.
E. . . . Ziemlich bewegt.
- N. . . . Von 0 $\frac{1}{2}$ 20 $\frac{1}{2}$ 72 bis 1 $\frac{1}{2}$ 22 $\frac{1}{2}$ 93 leichte Ansehwellinge;
- Nr. 88. 26. April 1902:
- V. . . . Leichte Unruhe.
Max: 0 $\frac{1}{2}$ 59 $\frac{1}{2}$ 20, A_m 1.4 mm.
- N. . . . Von 0 $\frac{1}{2}$ 20 $\frac{1}{2}$ 72 bis 1 $\frac{1}{2}$ 22 $\frac{1}{2}$ 93 leichte Ansehwellinge;
- Nr. 89. 26. April 1902:
- E. . . . B. 9 $\frac{1}{2}$ 22 $\frac{1}{2}$ 31; Max. 9 $\frac{1}{2}$ 23 $\frac{1}{2}$ 84, A_m 7.2 mm;
V. . . . B. 9 $\frac{1}{2}$ 22 $\frac{1}{2}$ 20; Max. 9 $\frac{1}{2}$ 23 $\frac{1}{2}$ 03, A_m 2.8 mm; E. 9 $\frac{1}{2}$ 38 $\frac{1}{2}$ 68
E. . . . B. 9 $\frac{1}{2}$ 22 $\frac{1}{2}$ 74; Max. 9 $\frac{1}{2}$ 23 $\frac{1}{2}$ 84, A_m 7.2 mm;
- E. . . . B. 9 $\frac{1}{2}$ 22 $\frac{1}{2}$ 66. <
- E. unbestimmt.

E. Tagssünder mikroseismische Unruhe.

V. B. 4h 0m 53; M₁ 4h 0m 93, A₁ 1.5 mm; E. 4h 13m 62.

> N. B. 4h 0m 41; Max. 4h 1m 10, A_m 1.3 mm; E. 4h 20m 19.

Nr. 93. 6. Mai 1902:

A_m 1.5 mm.

E. Tagssünder schwache Unruhe, während der Stoßung

Max. 13h 17m 92, A_m 1.5 mm.

Stoß:

V. Von 12h 52m 93 bis 13h 35m 98 eine Reihe schwacher

Max. 13h 24m 32, A_m 3.5 mm; E. 14h 36m 84.

Serie starkerer Stoßbebe bis 13h 49m 62;

A_m 2.1 mm; von 13h 12m 81 an folgt eine zweite >> N. B. 12h 48m 80; bis 13h 12m 12 eine Reihe Stoßbebe mit

Nr. 92. 2. Mai 1902:

E.

»

»

»

»

»

»

»

»

»

»

»

»

»

»

»

»

»

»

»

»

»

»

»

»

»

»

»

»

»

»

»

»

»

»

»

»

»

»

»

»

»

»

»

»

»

»

»

»

»

»

»

»

»

»

»

»

»

»

»

»

»

»

»

»

»

»

»

»

»

»

»

»

»

»

»

»

»

»

»

»

»

»

»

»

»

»

»

»

»

»

»

»

»

»

»

»

»

»

»

»

»

»

»

»

»

»

»

»

»

»

»

»

»

»

»

»

»

»

»

»

»

»

»

»

»

»

»

»

»

»

»

»

»

»

»

»

»

»

»

»

»

»

»

»

»

»

»

»

»

»

»

»

»

»

»

»

»

»

»

»

»

»

»

»

»

»

»

»

»

»

»

»

»

»

»

»

»

»

»

»

»

»

»

»

»

»

»

»

»

»

»

»

»

»

»

»

»

»

»

»

»

»

»

»

»

»

»

»

»

»

»

»

»

»

»

»

»

»

»

»

»

»

»

»

»

»

»

»

»

»

»

»

»

»

»

»

»

»

»

»

»

»

»

»

»

»

»

»

»

»

»

»

»

»

»

»

»

»

»

»

»

»

»

»

»

»

»

»

»

»

»

»

»

»

»

»

»

»

»

»

»

»

»

»

Nr. 94. 6. Mai 1902:

< N... B. 17^h47^m99; Max. 17^h48^m82, A^m 1.5 mm;E. 17^h59^m36.V... B. 17^h48^m24; Max. 17^h48^m80, A^m 1.7 mm;E. 17^h56^m84.E. 17^h47^m71; Max. 17^h50^m20, A^m 2.2 mm;E. 18^h 4^m06.<> N... B. 3^h31^m86; M^l 3^h32^m29, A^l 1.2 mm;
M^g 3^h53^m55, A^g 3.2 mm;
M^g 3^h44^m88, A^g 3.3 mm;

hierauft Abnahme, neuerliche Anschwelling;

M^g 4^h6^m33, A^g 2.8 mm;Max. 4^h15^m59, A^m 8.0 mm;M^g 4^h20^m71, A^g 3.4 mm; E. 4^h39^m93.V... B. 3^h31^m97; M^l 3^h32^m54, A^l 1.0 mm;M^g 3^h43^m88, A^g 2.7 mm;folgen schwache Stoße mit A^m 1.0 mm; abder-

malige Zunahme,

E. unbestimmt.

Max. 4^h13^m22, A^g 3.6 mm; E. 3^h34^m64.M^g 4^h11^m14, A^g 3.3 mm;Max. 4^h6^m71, A^m 5.0 mm;E... B. 3^h32^m69; M^l 3^h32^m97, A^l 1.3 mm;Max. 3^h37^m86, A^m 1.8 mm;N... Von 1^h37^m83 bis 2^h37^m55 schwache Anschwelling;

Nr. 96. 9. Mai 1902:

V... Sehr schwache Unruhe.

Max. 1^h46^m20 bis 1^h49^m68, A^m 1.4 mm.

E. . . .

E

- V... Tagsüber mikroseismische Unruhe.
 M_g 18_b 55_m24, A_g 3.5 mm; E. 19_b 21_m21.
 M_g 18_b 48_m44, A_g 3.0 mm;
Max. 18_b 40_m74, A_m 5.0 mm;
 M_g 18_b 35_m28, A_g 3.8 mm;
18_b 33_m37;
- folgt eine Reihe fast ebenso starker Stoße bis
<> N... B. 17_b 58_m66; M_g 18_b 9_m71, A_g 2.4 mm;
- Nr. 100. 25. Mai 1902:

- E... Tagsüber kontinuierliche Unruhe.
A_m 1.5 mm.
- V... Von 19_b 8_m51 bis 19_b 17_m41 schwache Stoße,
(> N... B. 19_b 6_m74; Max. 19_b 9_m24, A_m 2.3 mm; E. 20_b 5_m49.
- Nr. 99. 19. Mai 1902:

- E... Von 10_b 28_m17 bis 10_b 43_m38 Anschwellung,
E. 10_b 38_m94.
- V... B. 10_b 27_m47; Max. 10_b 29_m26, A_m 1.2 mm;
E. 10_b 35_m92.
- > N... B. 10_b 27_m35; M_g 10_b 27_m63, A_g 1.6 mm;
- Nr. 98. 12. Mai 1902:

- E. 24_b 0_m19.
- E... B. 23_b 25_m59; Max. 23_b 33_m54, A_m 2.3 mm;
- V... B. 23_b 25_m15; von 23_b 25_m30 bis 23_b 26_m70, A_g 1.1 mm;
- E. 24_b 27_m15.
- folgen noch einige Stoße mit A_m 2.0 mm;
- <> N... B. 23_b 25_m05; M_g 23_b 28_m82, A_g 1.6 mm;
- Nr. 97. 10. Mai 1902:

Nr. 101. 26. Mai 1902:

$< N \dots B. 5_b 16_m 25; M^i 5_b 18_m 44, A^i 1.4 \text{ mm};$

$V \dots B. 5_b 16_m 64; M^i 5_b 17_m 32, A^i 3.0 \text{ mm};$

$M^i 5_b 37_m 93, A^i 9.0 \text{ mm}; E. 6_b 24_m 35.$

$M^i 5_b 29_m 57, A^i 6.8 \text{ mm};$

$\text{Max. } 5_b 23_m 25, A^m 30.0 \text{ mm};$

$M^i 5_b 21_m 19, A^i 11.0 \text{ mm};$

$M^i 5_b 21_m 17, A^i 7.0 \text{ mm}.$

$\text{Max. } 5_b 23_m 50, A^m 20.0 \text{ mm};$

$M^i 5_b 28_m 99, A^i 13.4 \text{ mm};$

$M^i 5_b 32_m 97, A^i 4.3 \text{ mm};$

$M^i 5_b 38_m 73, A^i 3.5 \text{ mm};$

$E \dots B. 5_b 16_m 93; M^i 5_b 17_m 61, A^i 1.4 \text{ mm};$

unbestimmtbar.

E. infolge anhaltender mikroseismischer Unruhe

Pendelversetzung:

$M^i 5_b 20_m 50, A^i 1.9 \text{ mm};$

$\text{Max. } 5_b 23_m 65, A^m 12.0 \text{ mm};$

$M^i 5_b 27_m 22, A^i 7.0 \text{ mm};$

$M^i 5_b 30_m 66, A^i 6.7 \text{ mm}; E. 6_b 7_m 04.$

E \dots 1.5 mm nach Süden.

Pendel $N \dots 0.7 \text{ mm}$ nach Südwesten,

$> N \dots B. 12_b 32_m 65; \text{Max. } 12_b 33_m 35, A^m 4.8 \text{ mm};$

$V \dots B. 12_b 32_m 48; \text{Max. } 12_b 35_m 83, A^m 3.8 \text{ mm};$

$E. 13_b 3_m 42.$

$M^i 12_b 35_m 44, A^i 3.8 \text{ mm};$

$E. 12_b 32_m 22; \text{Max. } 12_b 35_m 15, A^m 6.7 \text{ mm};$

$E. 13_b 15_m 09.$

Nr. 102. 26. Mai 1902:

E \dots 1.5 mm nach Süden.

$E \dots 0.7 \text{ mm nach Südwesten},$

$M^i 12_b 41_m 39, A^i 2.3 \text{ mm};$

$E. 12_b 32_m 22; \text{Max. } 12_b 35_m 83, A^m 3.8 \text{ mm};$

$E. 13_b 3_m 42.$

$M^i 12_b 35_m 44, A^i 3.8 \text{ mm};$

$E. 12_b 32_m 22; \text{Max. } 12_b 35_m 15, A^m 6.7 \text{ mm};$

$E. 13_b 15_m 09.$

- Nr. 103. 26. Mai 1902:
 \rightarrow N... B. 14h 18m 42; Max. 14h 26m 27, Am 2.3 mm;
 von 14h 36m 68 bis 14h 50m 59 eine zweite An-
 schwelle mit Am 1.5 mm; E. 14h 51m 94.
 V... Schwache andauernde Unruhe.
 E... » » » » »
- Nr. 104. 27. Mai 1902:
 \rightarrow N... B. 18h 40m 87; Max. 18h 43m 08, Am 1.7 mm;
 E. 18h 59m 86.
 V... B. 18h 40m 85; Max. 18h 42m 92, Am 1.1 mm;
 E. 18h 49m 11.
 E... Vom 18h 41m 14 bis 18h 43m 21 knotenförmige An-
 schwelle, Am 1.5 mm.
- Nr. 105. 28. Mai 1902:
 \rightarrow N... Vom 4h 24m 16 bis 4h 29m 35 schwache Anschwelle;
 Max. 4h 25m 53, Am 1.2 mm.
- Nr. 106. 28. Mai 1902:
 \rightarrow V... Ruhig.
 E... kaum bewegt.
- Nr. 107. 28. Mai 1902:
 \rightarrow N... Vom 6h 16m 89 bis 6h 22m 64 schwache Anschwelle;
 Max. 6h 17m 71, Am 1.2 mm.
 V... Schwache Unruhe; Max. 6h 17m 96, Am 1.1 mm.
 E... Von 6h 16m 34 bis 6h 24m 82 Anschwelle;
- Max. 6h 17m 43 bis 6h 20m 45, Am 1.9 mm.
 folgt eine Reihe fast gleichmäigiger Stoße mit
 \rightarrow N... B. 10h 23m 18; M. 10h 24m 52, A. 2.4 mm;
 Max. 11h 0m 98, A. 3.0 mm; E. 11h 36m 23.
 A 2.0 mm;

- <> N... B. 7_b 22_m 63; M₁ 7_b 29_m 33, A₁ 1.6 mm;
 V... B. 10_b 23_m 03; Max. 10_b 25_m 18, A_m 2.0 mm;
 E. 11_b 41_m 86.
 Folgen eine Reihe schwächerer Stoße, A 1.2 mm;
- <> N... B. 23_b 44_m 79; Max. 23_b 47_m 32, A_m 2.0 mm;
 V... B. 23_b 45_m 18; Max. 23_b 46_m 44, A_m 2.2 mm;
 E. 24_b 25_m 25.
 <> N... B. 23_b 19_m 71; M₁ 21_b 20_m 40, A₁ 1.0 mm;
 V... B. 21_b 19_m 84; M₁ 21_b 20_m 11, A₁ 1.9 mm;
 E. 21_b 19_m 96; Max. 21_b 22_m 01 bis 21_b 24_m 47,
 A_m 1.4 mm; E. 21_b 31_m 61.
 <> N... B. 14_b 37_m 31; Max. 14_b 52_m 42, A_m 2.1 mm;
 V... B. 15_b 25_m 61.
 E. 15_b 25_m 61.
- Nr. 110. 8. Juni 1902:
- E. 21_b 46_m 97.
 M₂ 21_b 21_m 89, A₂ 1.9 mm;
 E... B. 21_b 19_m 84; M₁ 21_b 20_m 11, A₁ 1.9 mm;
 A_m 1.4 mm; E. 21_b 31_m 61.
- Nr. 111. 11. Juni 1902:
- E... Tagssüßer unruhig.
 V... Ruhig.
 E. 21_b 46_m 97.

E . . . > > >
V . . . Sehr schwach bewegt.
Lungen, Am 1.3 mm.
N . . . Von 17h 18m 12 bis 18h 14m 37 schwache Ansehwele.
Nr. 114. 15. Juni 1902:

E . . . > > >
V . . . Sehr schwach bewegt.
E. 14h 19m 95.
<> N . . . B. 13h 40m 59; Max. 13h 53m 71, Am 1.5 mm;
Nr. 113. 15. Juni 1902:

E . . . > > >
V . . . Schwach bewegt.
E. 2h 43m 08.
<> N . . . B. 1h 44m 61; Max. 2h 20m 17, Am 1.9 mm;
Nr. 112. 13. Juni 1902:
E. unbestimmt.

E . . . B. 7h 25m 87; M₁ 7h 27m 82, A₁ 1.1 mm;
Max. 7h 54m 11, Am 2.0 mm;
M₁₀ 8h 21m 47, A₁₀ 3.2 mm; E. 8h 50m 77.
M₉ 8h 13m 10, A₉ 3.0 mm;
M₈ 8h 4m 86, A₈ 5.2 mm;
M₇ 8h 1m 65, A₇ 8.7 mm;
M₆ 7h 59m 28, A₆ 8.5 mm;
Max. 7h 56m 05, Am 11.6 mm;
M₄ 7h 52m 85, A₄ 9.4 mm;
M₃ 7h 46m 00, A₃ 3.3 mm;
M₂ 7h 41m 37, A₂ 2.2 mm;
V . . . B. 7h 24m 03; M₁ 7h 29m 91, A₁ 1.0 mm;

M₁₀ 8h 42m 11, A₁₀ 2.8 mm; E. 9h 4m 43.
M₉ 8h 25m 65, A₉ 5.8 mm;
M₈ 8h 11m 98, A₈ 5.2 mm;
M₇ 8h 3m 04, A₇ 23.0 mm;
M₆ 7h 58m 99, A₆ 24.0 mm;

Nr. 120. 22. Juni 1902:

E. Maželje, Erdbebenstörungen zu Triest 1902

2

- < N... B. 4_b 37_m 41; M_i 4_b 37_m 83, A_i 1.2 mm;
 Max. 4_b 42_m 63, A_g 2.7 mm;
 Max. 4_b 47_m 23, A_m 4.2 mm;
 M_i 4_b 53_m 85, A_i 3.1 mm;
 M_b 4_b 59_m 34, A_b 1.8 mm; E. 5_b 20_m 16.
 V... B. 4_b 37_m 70; M_i 4_b 38_m 93, A_i 1.2 mm;
 Max. 4_b 48_m 95, A_m 3.6 mm;
 Max. 6_b 16_m 92, A_m 1.6 mm.
 N... Von 6_b 10_m 88 bis 6_b 26_m 81 schwache Ansehwelle.
 E. Fortwährend schwache Ururhe.
 V... Fast ruhig.
 E. Einheit bewegt.
 N... Vom 6_b 10_m 88 bis 6_b 26_m 81 schwache Ansehwelle.
 E. 5_b 43_m 74.
 M_i 5_b 1_m 42, A_i 2.8 mm; E. 5_b 43_m 74.
 M_b 4_b 53_m 05, A_b 2.8 mm;
 Max. 4_b 48_m 95, A_m 3.6 mm;
 V... B. 2_b 23_m 81; M_i 2_b 24_m 49, A_i 1.9 mm;
 Max. 2_b 30_m 06, A_m 2.3 mm; E. 2_b 55_m 17.
 V... B. 2_b 23_m 15; Max. 2_b 28_m 03, A_m 3.2 mm;
 E. 2_b 44_m 60.
 E... Von 2_b 25_m 33 bis 2_b 26_m 95. schwache Ansehwelle.
 A_m 1.5 mm.

Nr. 123. 25. Juni 1902:

- E... Schwache Ururhe.
 E. 9_b 50_m 95.
 V... B. 9_b 35_m 01; Max. 9_b 41_m 53, A_m 1.3 mm;
 <> N... Schwache, kaum bemerkbare Ururhe.

Nr. 122. 23. Juni 1902:

- E... Einheit bewegt.
 V... Fast ruhig.

Max. 6_b 16_m 92, A_m 1.6 mm.

N... Vom 6_b 10_m 88 bis 6_b 26_m 81 schwache Ansehwelle;

Nr. 121. 22. Juni 1902:

- E... Fortwährend schwache Ururhe.
 M_i 5_b 1_m 42, A_i 2.8 mm; E. 5_b 43_m 74.
 M_b 4_b 53_m 05, A_b 2.8 mm;
 Max. 4_b 48_m 95, A_m 3.6 mm;
 V... B. 4_b 37_m 70; M_i 4_b 38_m 93, A_i 1.2 mm;
 Max. 4_b 47_m 23, A_m 4.2 mm;
 M_i 4_b 53_m 85, A_i 3.1 mm;
 M_b 4_b 59_m 34, A_b 1.8 mm; E. 5_b 20_m 16.
 V... B. 4_b 37_m 41; M_i 4_b 37_m 83, A_i 1.2 mm;
 Max. 4_b 42_m 63, A_g 2.7 mm;
 Max. 4_b 47_m 23, A_m 4.2 mm;
 M_i 4_b 53_m 85, A_i 3.1 mm;
 M_b 4_b 59_m 34, A_b 1.8 mm; E. 5_b 20_m 16.
 V... B. 2_b 23_m 81; M_i 2_b 24_m 49, A_i 1.9 mm;
 Max. 2_b 30_m 06, A_m 2.3 mm; E. 2_b 55_m 17.
 V... B. 2_b 23_m 15; Max. 2_b 28_m 03, A_m 3.2 mm;
 E. 2_b 44_m 60.
 E... Von 2_b 25_m 33 bis 2_b 26_m 95. schwache Ansehwelle.

七

14

Nr. 124. 27. Juni 1902:

> N... B. 17^a49^b93; Max. 17^a51^b29, A_m 1.9 mm;

A B 17th Aug^{ust} 54: Max 17th 51st 04 A - 1.8 mm.

Б. 18^а 4м33.

Ax. 1/-30.91, Am 2-3 min,

$$M^2 \approx 17.5 \text{ GeV}, A^2 \approx 1.9 \text{ mm}^2$$

ASCE 7-16

Nr. 125. 28. Juni 1902.

N...; B. $y_4/_{\pm}49$; Max. $y_{\pm}48 \pm 89$, $A_m 2 \cdot 0 \text{ mm}$;

AT 16.10.2022 Max 48m75 A. 1.6 min.

E. 10_b 1_m48.

B. y_4 47 \pm 24; Max. y_4 48 \pm 92, A_m 2.0 mm;

Nr. 126. 30. juni 1902.

N.F. 126. 30. June 1902:

... Von 4.4.99 bis 4.18.91 Anscheinlich;

Max. 4_b 11_m 56 bis 4_b 11_m 83, A_m 1 · 4 mm

V... Ruhig.

E ... Raum bemerkbare Urtheile.

600F 201 08 201 21

AT D 11498922 May 11 1980 A 3.0 mm.

E. 1144690.

A...Ruhig.

2000 B.C. 11 28 33, Max. 11 33 20, Min. 11 00 00,

E. H. ELLIS

Nr. 128. 3. Juli 1902:

$\langle \rangle N_{\dots} B_{16b} 58_{\text{mm}} 27; \text{Max. } 17_{\text{b}} 6_{\text{mm}} 95, A_m 1_7 mn;$

Nr. 128. 3. Juli 1902:

Nr. 129. 4. Juli 1902:

<> N... B. 2_b 56_m92; Max. 2_b 57_m32, A_m 1.4 mm; E. 3_b 22_m08.

V... Von 2_b 57_m35 bis 3_b 8_m92 schwache Ururthe.

E... B. 2_b 56_m67; M_b 2_b 57_m34, A_b 1.1 mm;

Max. 3_b 1_m65, A_m 1.3 mm; E. 3_b 11_m74.

Nr. 130. 5. Juli 1902:

<> N... B. 13_b 1_m15; Max. 13_b 4_m50, A_b 1.3 mm;

E. 13_b 15_m38.

V... B. 13_b 2_m42; Max. 13_b 2_m69, A_b 1.6 mm;

E. 13_b 8_m70.

E... B. 13_b 1_m60; Max. 13_b 2_m15, A_b 1.6 mm;

E. 13_b 13_m74.

Nr. 131. 5. Juli 1902:

<> N... B. 15_b 57_m55; M_b 15_b 58_m39, A_b 1.7 mm;

Bei 16_b 1_m22 fand eine Versetzung aller Pendel statt,

Aufzeichnung wurde unbedeutlich. Das N-Pendel

versetzte sich nach Nordosten um 26.6 mm;

Max. 16_b 6_m29, A_b 35.0 mm;

M_b 16_b 10_m19, A_b 31.0 mm;

M_b 16_b 14_m63, A_b 7.4 mm;

M_b 16_b 17_m01, A_b 6.2 mm;

M_b 16_b 19_m92, A_b 5.2 mm;

mit A_b 2.4 mm. E. unbestimmt.

Abnahme; neutrichen Zunahme von 16_b 36_m88

bis 16_b 46_m75 und von 16_b 52_m16 bis 17_b 16_m50

folgen mehrere kleinere Stoße, A_b 3.5 mm; hierauft

V... B. 15_b 58_m16; M_b 15_b 58_m72, A_b 3.7 mm;

bei 16_b 1_m22 findet die Pendelversetzung statt und

Zwar nach Südosten um 1.7 mm;

E. Mazelle, Erdbebenstörungen zu Thies 19

Max. 16_h 6 m 73, A_m 28.8 mm;
 M^4 16_h 8 m 68, A^4 27.8 mm;
 M^6 16_h 11 m 45, A^5 14.8 mm;
 M^6 16_h 18 m 55, A^6 5.8 mm;
 M^7 16_h 22 m 72, A^7 3.0 mm;
 M^8 16_h 28 m 54, A^8 2.7 mm;
 M^9 16_h 41 m 47, A^9 2.1 mm; E. 17_h 1 m 50.

bei 16_h 1 m 22 Pendelversetzung nach Süden um
 4.6 mm;

E. . . . B. 15_h 57 m 76; M^1 15_h 58 m 18, A^1 1.6 mm;
 M^2 16_h 0 m 67, A^2 11.0 mm;

Max. 16_h 5 m 91, A_m 18.0 mm;
 M^4 16_h 8 m 28, A^4 10.0 mm;
 M^6 16_h 11 m 32, A^5 8.6 mm;
 M^6 16_h 13 m 83, A^6 4.5 mm;
 E. unbestimmt.

N. . . . B. 21_h 0 m 20; Max. 21_h 0 m 48, A_m 1.3 mm;
 V Von 21_h 0 m 64 bis 21_h 12 m 85, A_m 1.1 mm.
 E. 21_h 2 m 84.
 E B. 21_h 0 m 10; Max. 21_h 2 m 02, A_m 2.0 mm;
 E . 21_h 20 m 64.

Nr. 133. 5. Juli 1902:

> N. . . . B. 21_h 51 m 89; Max. 21_h 53 m 39, A_m 1.7 mm;
 E . 22_h 16 m 51.

E. . . . B. 21_h 51 m 92; M^1 21_h 52 m 62, A^1 2.4 mm;
 M^2 21_h 54 m 29, A_m 3.4 mm;
 E . 22_h 8 m 40.
 V B. 21_h 53 m 01; Max. 21_h 53 m 30, A_m 2.7 mm;

E. . . . E. 22_h 13 m 48.

E. . . . E. 22_h 13 m 48.

Nr. 137. 6. Juli 1902:

E. Mazelle, Erdbebenstörungen zu Triest 1902

M^g 14 μ 57 m 05, A^g 3.2 mm;
 M^g 14 μ 51 m 41, A^g 8.2 mm;
 M^g 14 μ 43 m 76, A^g 7.0 mm;
 M^g 14 μ 42 m 55, A^g 7.0 mm;
Max. 14 μ 37 m 72 und 14 μ 39 m 34, A^m 8.7 mm;
 M^g 14 μ 27 m 65, A^g 3.6 mm;
 $N \dots B.$ 14 μ 23 m 75; M^g 14 μ 24 m 16, A^g 2.8 mm;

E. Mazelle, Erdbebenstörungen zu Triest 1902

E. Mazelle, Erdbebenstörungen zu Triest 1902

$E \dots B.$ 12 μ 41 m 50; Max. 12 μ 42 m 06, A^m 2.1 mm;
E. 12 μ 58 m 71.
 $V \dots B.$ 12 μ 41 m 89; Max. 12 μ 42 m 44, A^m 2.8 mm;
E. 13 μ 6 m 99.
Max. 12 μ 47 m 68, A^m 1.7 mm;
 $N \dots B.$ 12 μ 41 m 34; M^g 12 μ 42 m 16, A^g 1.6 mm;

E. Mazelle, Erdbebenstörungen zu Triest 1902

E. Mazelle, Erdbebenstörungen zu Triest 1902

$V \dots B.$ 4 μ 9 m 96; Max. 4 μ 11 m 33, A^m 6.5 mm;
 M^g 4 μ 17 m 50, A^g 3.0 mm; E. 4 μ 34 m 63.
 $E \dots B.$ 4 μ 7 m 78; M^g 4 μ 9 m 01, A^g 1.3 mm;
 M^g 4 μ 12 m 16, A^g 14.0 mm; E. 4 μ 32 m 72.
 M^g 4 μ 10 m 64, A^g 7.0 mm;

E. Mazelle, Erdbebenstörungen zu Triest 1902

E. Mazelle, Erdbebenstörungen zu Triest 1902

M^g 4 μ 14 m 87, A^g 3.5 mm; E. 4 μ 38 m 44.
Max. 4 μ 11 m 18, A^m 5.0 mm;

$N \dots B.$ 4 μ 8 m 16; M^g 4 μ 10 m 62, A^g 4.5 mm;

E. Mazelle, Erdbebenstörungen zu Triest 1902

E. Mazelle, Erdbebenstörungen zu Triest 1902

$V \dots B.$ 3 μ 9 m 88; Max. 3 μ 10 m 15, A^m 1.3 mm; E. 3 μ 26 m 98.
 $(> N \dots B.$ 3 μ 9 m 17; Max. 3 μ 9 m 87, A^m 1.3 mm; E. 3 μ 15 m 48.
E. 3 μ 8 m 64; Max. zwischen 3 μ 10 m 32 und 3 μ 16 m 35,
 A^m 1.5 mm; E. 3 μ 27 m 84.

E. Mazelle, Erdbebenstörungen zu Triest 1902

M_1 4_b 50_m 30, M_1 4_b 50_m 98, A_1 2 0 mm;
 M_2 5_b 0_m 25, A_2 5 1 mm;
Max. 5_b 2_m 56, A_m 5 4 mm;
 M_4 5_b 7_m 33, A_4 5 3 mm;

Nr. 140. 9. Juli 1902:

E. . . . Ruhig.
V. . . . Schwache Unruhe.

Max. 16_b 2_m 70 bis 16_b 11_m 04, A_m 1 8 mm;

V. . . . Von 15_b 20_m 74 bis 16_b 36_m 02 Anschwellung;

Nr. 139. 8. Juli 1902:

E. . . . B. 0_b 37_m 46; Max. 0_b 38_m 14, A_m 4 3 mm; E. 1_b 2_m 74.
V. . . . B. 0_b 38_m 14; Max. 0_b 38_m 95, A_m 3 2 mm; E. 1_b 1_m 91.
E. 1_b 1_m 62.
Max. 0_b 39_m 07 bis 0_b 40_m 03, A_m 2 3 mm;
 $>$ V. . . . B. 0_b 37_m 71; M_1 0_b 38_m 25, A_1 2 0 mm;

Nr. 138. 7. Juli 1902:

E. 14_b 23_m 64; M_1 14_b 24_m 04, A_1 1 2 mm;
E. 16_b 14_m 66.
Folgend noch einige schwache Stöße mit A_m 2 3 mm:
 M_6 14_b 49_m 69, A_6 4 6 mm;
 M_5 14_b 47_m 68, A_5 4 6 mm;
 M_4 14_b 43_m 25, A_4 4 5 mm;
Max. 14_b 35_m 87, A_m 6 8 mm;
 M_2 14_b 27_m 54, A_2 3 4 mm;
V. . . . B. 14_b 24_m 18; M_1 14_b 24_m 58, A_1 2 0 mm;

A_m 3 5 mm, sodann noch einige schwache
15_b 26_m 05 wieder mehrere starke Stöße mit
nach Abnahme erscheinend von 15_b 7_m 65 bis
bis 16_b 3_m 63, A 2 0 mm; E. 16_b 35_m 84.

Mittelungen der Erdbeben-Kommission.

46

- Nr. 141. 9. Juli 1902:
- E. Mazzelie, Erdbebenstörungen zu Theser 1902.
- bei 5 h 17 m 98 noch eine A 2.6 mm; folgen noch einige sehr schwache Stöße; E. 5 h 54 m 80.
- V... B. 4 h 46 m 91; M₁ 4 h 51 m 27, A₁ 1.9 mm;
- Max. 5 h 0 m 81, A_m 4.0 mm;
- bei 5 h 22 m 36 noch eine A 2.0 mm; E. 5 h 37 m 36.
- E... B. 4 h 44 m 73; M₁ 4 h 51 m 55, A₁ 2.0 mm;
- infolge Kreuzung mit anderen Kurven weitere Mess-
- sungen unmöglich.
- N... B. 19 h 41 m 56; M₁ 19 h 42 m 41, A₁ 2.2 mm;
- E. 19 h 54 m 97.
- V... B. 19 h 42 m 56; Max. 19 h 42 m 98, A_m 3.6 mm;
- E. 20 h 14 m 22.
- N... B. 19 h 40 m 76; Max. 19 h 43 m 27, A_m 4.2 mm;
- E. 19 h 54 m 97.
- V... B. unbekannt; Max. 13 h 22 m 43, A_m 2.3 mm;
- E. wegen des folgenden Bebens unbekannt.
- < N... B. unbekannt; Max. 13 h 22 m 00, A_g 4.5 mm;
- E. 13 h 36 m 47.
- V... B. unbekannt; Max. 13 h 22 m 43, A_m 2.3 mm;
- E... Mehrere schwache Knotenbildung, A_m 1.4 mm.
- Nr. 142. 13. Juli 1902:
- < N... B. unbekannt; Max. 13 h 17 m 88, A_m 4.7 mm;
- E. 13 h 17 m 88.
- Nr. 143. 13. Juli 1902:
- > N... B. durch das vorangehende Beben gestört;
- Max. 13 h 48 m 46 bis 13 h 49 m 69, A_m 2.0 mm;
- E. 14 h 9 m 06.
- V... B. 13 h 49 m 98; Max. 13 h 50 m 27 bis 13 h 51 m 77,
- A_m 2.1 mm; E. 14 h 6 m 60.
- E... B. 13 h 48 m 21; Max. 13 h 49 m 31, A_m 3.2 mm;
- E. 14 h 21 m 16.

Nr. 144. 15. Juli 1902:

<> N... B. 9_b 0_m48; Max. 9_b 4_m09, A_m 2.0 mm; E. 9_b 36_m51.

V... B. 8_b 57_m71; Max. 9_b 6_m32, A_m 1.9 mm; E. 9_b 31_m26.

<> N... B. 23_b 40_m24; Max. 23_b 45_m11, A_m 1.3 mm;

Nr. 146. 20. Juli 1902:

N... Zwischen 9_b 34_m93 und 9_b 44_m03 eine Anschwelle-

V... Zwischen 9_b 33_m41 und 9_b 47_m12 eine Anschwelle-

E... Zwischen 9_b 29_m79 und 9_b 46_m58 eine Anschwelle-

<> N... B. 10_b 1_m11; M₁ 10_b 4_m00, A₁ 2.1 mm;

Nr. 147. 20. Juli 1902:

<> N... B. 10_b 1_m11; M₁ 10_b 4_m00, A₁ 2.1 mm;

M₁ 10_b 11_m56, A₁ 7.0 mm;

M₁ 10_b 17_m06, A₁ 5.4 mm;

M₁ 10_b 29_m59, A₁ 2.6 mm;

M₁ 10_b 32_m07, A₁ 2.9 mm;

M₁ 10_b 37_m85, A₁ 2.8 mm;

V... B. unbekannt; M₁ 10_b 6_m21, A₁ 1.6 mm;

Max. 10_b 11_m99, A_m 3.7 mm;

M₁ 10_b 22_m17, A₁ 2.5 mm;

M₁ 10_b 30_m70, A₁ 2.0 mm;

E. 10_b 53_m27.

E. Mazelle.

- E. Max. 0_b 40_m 45, A_m 3.7 mm;
 E. 0_b 39_m 61; Max. 0_b 40_m 45, A_m 3.7 mm;
 E. 0_b 55_m 61.
 V... B. 0_b 40_m 01; Max. 0_b 41_m 40, A_m 1.1 mm;
 E. 0_b 56_m 71.
 > N... B. 0_b 39_m 72; Max. 0_b 41_m 40, A_m 1.6 mm;
 > N. 151. 28. July 1902:
 V... kaum bemerkbare Ansehwellung.
 E. 14_b 54_m 42; Max. 13_b 55_m 53, A_m 2.1 mm;
 E. 14_b 10_m 49.
 E. 14_b 13_m 34.
 > N... B. 13_b 56_m 35; Max. 13_b 56_m 76, A_m 1.2 mm;
 > N. 150. 23. July 1902:
 V... B. 14_b 16_m 47; Max. 14_b 18_m 25, A_m 2.7 mm;
 E. 14_b 34_m 01.
 E. 14_b 38_m 94.
 E. 14_b 15_m 66; Max. 14_b 17_m 03, A_m 3.5 mm;
 E. 14_b 15_m 91; M₁ 14_b 17_m 00, A_m 3.7 mm;
 > N... B. 14_b 15_m 91; M₁ 14_b 17_m 00, A_m 3.7 mm;
 > N. 149. 22. July 1902:
 V... Ruhig.
 E. Schwache Unruhe.
 Max. 10_b 50_m 73, A_m 1.2 mm.
 N... Von 10_b 45_m 78 bis 11_b 17_m 64 leichte Ansehwellung;
 > N. 148. 21. July 1902:
 E. Mazelle, Erdbebenstörungen zu Triest 19
 E... Von 10_b 3_m 47 bis 10_b 11_m 18 knotenförmige An-
 schwellungen; A_m 1.6 mm bei 10_b 5_m 67.

E... Ruhig.

fot't bis 16_h 48_m 07.

mit A_m 1.5 mm; schwache Unruhe dauer't jedoch

V... Von 15_h 42_m 18 bis 16_h 8_m 2 mehrere Anschläge wellenunge-

E. 16_h 49_m 18.

eine zweite Anschwelle mit A_m 1.2 mm;

bis 16_h 22_m 55; von 16_h 30_m 95 bis 16_h 47_m 78

hierauf eine Reihe schwächerer Stoße mit A 1.0 mm

M₄ 16_h 12_m 03. A₄ 1.7 mm;

M₃ 16_h 4_m 32; A₃ 2.5 mm;

Max. 15_h 57_m 45, A_m 4.8 mm;

(=> N... B. 15_h 46_m 94; M₁ 15_h 48_m 20, A₁ 1.5 mm;

Nr. 155. 2. August 1902:

E... B. 7_h 12_m 74; Max. 7_h 13_m 58, A_m 2.0 mm; E. 7_h 37_m 42.

V... B. 7_h 13_m 42; Max. 7_h 14_m 26, A_m 1.5 mm; E. 7_h 32_m 35.

> N... B. 7_h 12_m 29; Max. 7_h 13_m 83, A_m 1.8 mm; E. 7_h 32_m 06.

Nr. 154. 2. August 1902:

E... Kaum bewegt.

E. 18_h 59_m 49.

V... B. 18_h 47_m 32; Max. 18_h 54_m 08, A_m 1.0 mm;

E. 19_h 5_m 96.

(> N... B. 18_h 46_m 76; Max. 18_h 51_m 90, A_m 1.1 mm;

Nr. 153. 29. Juli 1902:

E. 3_h 15_m 64.

E... B. 2_h 51_m 15; Max. 2_h 51_m 97, A_m 1.7 mm;

E. 3_h 6_m 65.

V... B. 2_h 51_m 69; Max. 2_h 56_m 45, A_m 1.4 mm;

E. 3_h 14_m 53.

> N... B. 2_h 51_m 13; Max. 2_h 51_m 81, A_m 2.0 mm;

Nr. 152. 29. Juli 1902:

Mitteilungen der Erdbeben-Kommission.

50

4*

Schwache Unruhe dauert fort.

E. . . . B. 2_h 51_m 48; M₁ 2_h 52_m 60, A₁ 1.5 mm; E. 3_h 27_m 64.
 Max. 3_h 7_m 73, A_m 2.1 mm; E. 3_h 27_m 64.
 M₆ 3_h 35_m 89, A₆ 2.7 mm; E. 3_h 47_m 81.
 M₄ 3_h 23_m 69, A₄ 2.5 mm;
 M₃ 3_h 9_m 96, A₃ 2.6 mm;
 Max. 3_h 3_m 37, A_m 3.0 mm;
 V. . . . B. 2_h 52_m 30; M₁ 2_h 54_m 54, A₁ 1.1 mm; E. 4_h 8_m 55.
 M₆ 3_h 39_m 67, A₆ 2.3 mm; E. 4_h 8_m 55.
 M₄ 3_h 33_m 50, A₄ 2.6 mm;
 M₃ 3_h 23_m 97, A₃ 2.3 mm;
 Max. 3_h 7_m 14, A_m 3.4 mm;
 <> N. . . . B. 2_h 51_m 17; M₁ 2_h 55_m 37, A₁ 1.1 mm;

Nr. 157. 3. August 1902:

E. 0_h 47_m 93 bis 0_h 18_m 96 A_m 1.7 mm;
 von 0_h 9_m 31 bis 0_h 18_m 96 A_m 1.7 mm;
 E. . . . B. 2_h 55_m 79; Max. 2_h 57_m 45, A_m 1.8 mm;
 E. 0_h 58_m 12.
 M₆ 0_h 32_m 06, A₆ 2.3 mm;
 M₄ 0_h 29_m 56, A₄ 2.7 mm;
 M₃ 0_h 22_m 67, A₃ 2.4 mm;
 M₂ 0_h 11_m 49, A₂ 2.3 mm;
 Max. 2_h 58_m 81, A_m 2.8 mm;
 V. . . . B. 2_h 56_m 61; M₁ 2_h 57_m 43, A₁ 1.7 mm; E. 1_h 37_m 83.
 M₆ 0_h 35_m 77, A₆ 2.4 mm;

Folgen fast ebenso starke Stoßwelle bis 0_h 33_m 01;

Max. 0_h 21_m 97, A_m 3.6 mm;
 M₃ 0_h 15_m 48, A₃ 2.4 mm;
 M₂ 0_h 0_m 05, A₂ 2.2 mm;
 <> N. . . . B. 2_h 56_m 04; M₁ 2_h 56_m 87, A₁ 1.7 mm;

Nr. 156. 2. und 3. August 1902:

E. Mazelle, Erdbebenstörungen zu Trie

Nr. 158. 3. August 1902:

(<) N... B. 17_b 59_m 14; M₁, 17_b 59_m 96, A₁, 1.0 mm;

M₂, 18_b 6_m 24, A₂, 2.2 mm;

Max. 18_b 10_m 20, A_m 11.8 mm;

M₄, 18_b 13_m 47, A₄, 8.4 mm;

M₆, 18_b 17_m 04, A₆, 8.6 mm;

M₈, 18_b 30_m 30, A₈, 9.0 mm;

M₉, 18_b 26_m 87, A₉, 8.8 mm;

M₆, 18_b 19_m 24, A₆, 3.8 mm;

Max. 18_b 9_m 81, A_m 6.0 mm;

E... B. 17_b 59_m 57; M₁, 18_b 0_m 79, A₁, 1.4 mm;

E. 19_b 24_m 70.

M₉, 18_b 50_m 93, A₉, 4.0 mm;

M₈, 18_b 38_m 77, A₈, 4.5 mm;

M₇, 18_b 30_m 30, A₇, 9.0 mm;

M₆, 18_b 17_m 04, A₆, 8.6 mm;

M₄, 18_b 13_m 47, A₄, 8.4 mm;

Max. 18_b 10_m 20, A_m 11.8 mm;

M₂, 18_b 6_m 24, A₂, 2.2 mm;

N... B. 17_b 59_m 57; M₁, 18_b 0_m 79, A₁, 1.4 mm;

Max. 18_b 9_m 81, A_m 6.0 mm;

E. 19_b 5_m 85.

M₆, 18_b 44_m 52, A₆, 2.4 mm;

M₅, 18_b 32_m 10, A₅, 3.0 mm;

M₄, 18_b 23_m 75, A₄, 4.0 mm;

M₃, 18_b 19_m 24, A₃, 3.8 mm;

Max. 18_b 9_m 81, A_m 6.0 mm;

E... B. 17_b 59_m 30; M₁, 17_b 59_m 71, A₁, 2.4 mm;

E. 18_b 47_m 54.

M₅, 18_b 28_m 81, A₅, 2.0 mm;

M₄, 18_b 20_m 48, A₄, 3.5 mm;

Max. 18_b 9_m 81, A_m 7.4 mm;

M₂, 18_b 6_m 54, A₂, 3.5 mm;

E... B. 17_b 59_m 30; M₁, 17_b 59_m 71, A₁, 2.4 mm;

E. 18_b 47_m 54.

Max. 18_b 9_m 81, A_m 2.0 mm;

M₄, 18_b 20_m 48, A₄, 3.5 mm;

M₃, 18_b 19_m 24, A₃, 3.8 mm;

Max. 18_b 9_m 81, A_m 7.4 mm;

M₂, 18_b 6_m 54, A₂, 3.5 mm;

E... B. 17_b 12_m 98; M₁, 17_b 14_m 78, A₁, 1.5 mm;

E. 12_b 2_m 43.

M₄, 11_b 54_m 10, A₄, 1.7 mm;

Max. 11_b 29_m 64, A_m 2.3 mm;

M₂, 11_b 16_m 60, A₂, 2.0 mm;

E... B. 11_b 12_m 57; Reihe Schwacher Anschwelle-

Lungenen, A_m 1.3 mm; E. 11_b 59_m 95.

E... Von 11_b 13_m 56 bis 12_b 0_m 80 einzige schwache An-

schwelle am 11_b 4 mm.

Nr. 159. 4. August 1902:

Uhruhe anhaltend.

E... Ruhig.

Max. 13 μ 14 μ 06, Am 1.4 mm.

Schwache Stoße;

V... Zwischen 13 μ 12 μ 95 und 13 μ 33 μ 88 mehrere

Schwacher Stoß mit Am 1.2 mm.

(> N... Zwischen 13 μ 12 μ 51 und 13 μ 32 μ 20 eine Reihe

Nr. 163. 7. August 1902:

E. 9 μ 16 μ 68.

E... B. 8 μ 57 μ 29; Max. 9 μ 5 μ 30, Am 1.8 mm;

Max. 9 μ 7 μ 39, Am 3.0 mm; E. 9 μ 22 μ 84.

M g 9 μ 2 μ 47, A g 2.5 mm;

V... B. 8 μ 57 μ 27; M g 8 μ 57 μ 55, A g 1.8 mm;

M g 9 μ 19 μ 04, A g 2.0 mm; E. 9 μ 42 μ 22.

Max. 9 μ 11 μ 87, Am 3.0 mm;

M g 9 μ 3 μ 16, A g 2.3 mm;

(> N... B. 8 μ 56 μ 98; M g 8 μ 57 μ 26, A g 1.4 mm;

Nr. 162. 7. August 1902:

E. 11 μ 10 μ 28.

E... B. 10 μ 58 μ 09; Max. 10 μ 59 μ 59, Am 1.2 mm;

E. 11 μ 16 μ 24.

V... B. 10 μ 59 μ 31; Max. 10 μ 59 μ 99, Am 3.2 mm;

E. 11 μ 29 μ 49.

(> N... B. 10 μ 58 μ 21; Max. 10 μ 59 μ 70, Am 1.8 mm;

Nr. 161. 6. August 1902:

Folgt andauernde schwache Unruhe.

E. 23 μ 46 μ 93.

E... B. 23 μ 37 μ 20; Max. 23 μ 38 μ 30, Am 1.5 mm;

E. 24 μ 2 μ 74.

V... B. 23 μ 37 μ 59; Max. 23 μ 40 μ 52, Am 1.8 mm;

E. 24 μ 9 μ 39.

(> N... B. 23 μ 37 μ 16; Max. 23 μ 40 μ 23, Am 3.0 mm;

Nr. 160. 4. August 1902:

Nr. 164. 7. August 1902:

\angle N... B. 18 μ 55 μ 22; Max. 18 μ 56 μ 32 bis 18 μ 57 μ 70,
 A_m 0.9 mm; E. 19 μ 10 μ 02.

E... Leichte Anschwelling von 18 μ 55 μ 11 bis 19 μ 0 μ 87.
 V... Leichte Anschwelling von 18 μ 55 μ 51 bis 19 μ 9 μ 62.

Nr. 165. 8. August 1902:

N... Von 11 μ 11 μ 33 bis 11 μ 28 μ 34 leichte Anschwelling,

E... Ruhig.

V... Kaum bewegt.

A_m 0.9 mm.

Nr. 166. 8. August 1902:

N... Max. either schwachen Anschwelling von 22 μ 27 μ 09
 bis 22 μ 29 μ 66, A_m 1.0 mm.

V... Schwache Anschwelling von 22 μ 27 μ 80 bis 22 μ 32 μ 77;

Max. 22 μ 29 μ 54, A_m 1.4 mm.

E... Ruhig.

Nr. 167. 9. August 1902:

\angle N... B. 16 μ 2 μ 70; Max. 16 μ 19 μ 57 bis 16 μ 25 μ 10,
 A_m 1.2 mm; E. 16 μ 32 μ 01.

V... Von 16 μ 1 μ 89 bis 16 μ 24 μ 01 leichte Anschwelling,

A_m 1.2 mm.

E... Ruhig.

Nr. 168. 10. August 1902:

N... Von 21 μ 44 μ 10 bis 22 μ 5 μ 67 leichte Anschwelling,

A_m 1.2 mm.

E... Ruhig.

V... Sehr schwache Unruhe.

A_m 1.2 mm.

E... Schwache, kaum Am. 1.0 mm erreichte Unruhe.
E. 14_h 41_m 47.
V... B. 14_h 27_m 08; Max. 14_h 27_m 90, Am. 1.6 mm;
E. 14_h 39_m 82.
> N... B. 14_h 26_m 11; Max. 14_h 27_m 47, Am. 1.2 mm;

Nr. 172. 13. August 1902:

E. 13_h 49_m 70.
E... B. 13_h 8_m 15; Max. 13_h 9_m 44, Am. 2.2 mm;
E. 14_h 8_m 13.
V... B. 13_h 9_m 23; Max. 13_h 10_m 48, Am. 7.2 mm;
E. 13_h 51_m 33.
M_g 13_h 16_m 93, A_g 2.7 mm;
> N... B. 13_h 8_m 40; Max. 13_h 10_m 05, Am. 3.8 mm;

Nr. 171. 13. August 1902:

E... Ruhig.
V... B. 5_h 22_m 59; Max. 5_h 23_m 69, Am. 3.2 mm; E. 6_h 8_m 43.
> N... B. 5_h 22_m 59; Max. 5_h 23_m 69, Am. 3.2 mm; E. 6_h 8_m 43.

Nr. 170. 13. August 1902:

Schwache Unruhe anhaltend.
E. 19_h 1_m 78.
E... B. 18_h 26_m 15; Max. 18_h 33_m 28, Am. 2.0 mm;
stimmbar.
hierauf eine Reihe Stöße mit Am. 1.4 mm; E. unbede-
V... B. 18_h 27_m 23; Max. 18_h 34_m 92, Am. 3.8 mm;
E. 19_h 29_m 42.
M_g 18_h 46_m 96, A_g 2.7 mm;
Max. 18_h 36_m 00, Am. 3.2 mm;
M_g 18_h 31_m 20, A_g 2.5 mm;
<> N... B. 18_h 26_m 44; M_g 18_h 29_m 41, A_g 1.2 mm;

Nr. 169. 12. August 1902:

Papierriffächer.
ersticthlich; Lichtenpunkt verschwindet aus der
4^h25^m02 noch ein Maximum von 41.0 mm
es treten äußerst heftige Schwundungen auf; bei
N... B. 4^h8^m56; M₁ 4^h9^m81, A₁ 9.5 mm;

(> NB. Eigentl. zweit Störungsein enthalten.

Nr. 175. 22. August 1902:

E... Ruhig.
E. unbeweglich.
V... B. 12^h38^m25; Max. 12^h44^m15, A_m 3 0 mm;
Stöße mit A_m 1.8 mm; E. 13^h50^m17.
von 13^h18^m59 bis 13^h46^m05 eine Reihe schwächerer
M³ 13^h8^m02, A³ 2.4 mm;
Max. 12^h54^m15, A_m 3.5 mm;
(> N... B. 12^h38^m78; M₁ 12^h40^m56, A₁ 2.9 mm;

Nr. 174. 21. August 1902:

E. 11^h10^m20.
E... B. 9^h25^m13; Max. 9^h28^m59, A_m 2.5 mm;
E. 10^h36^m17.
M⁴ 9^h56^m37, A⁴ 2.0 mm;
M³ 9^h35^m49, A³ 2.0 mm;
Max. 9^h28^m56, A_m 2.4 mm;
V... B. 9^h25^m95; M₁ 9^h26^m36, A₁ 1.5 mm;
E. 11^h10^m45.
M⁶ 10^h13^m49, A⁶ 3.4 mm;
M⁵ 9^h59^m80, A⁵ 6.2 mm;
M⁴ 9^h47^m22, A⁴ 3.2 mm;
M³ 9^h37^m96, A³ 3.8 mm;
Max. 9^h28^m84, A_m 10.0 mm;
> N... B. 9^h25^m66; M₁ 9^h27^m31, A₁ 8.8 mm;

Nr. 173. 16. August 1902:

Mittellinie der Erdbeben-Kommission.

Max. 17 μ 9 μ 09, A m 4.3 mm; E. 17 μ 39 μ 85.

Abnahme, hierauf Zunahme;

V... B. unbestimmt; M μ 16 μ 35 μ 19, A t 1.4 mm;

<> NB. Eigentlich zwei Störungen.

Nr. 177. 22. August 1902:

E... Leicht bewegt.

E. unbestimmt;

V... B. 11 μ 5 μ 76; Max. 11 μ 10 μ 23, A m 1.4 mm;

E. unbestimmt;

<> V... B. 11 μ 6 μ 47; Max. 11 μ 10 μ 65, A m 2.0 mm;

Nr. 176. 22. August 1902:

schwache Unruhe anhaltend.

derselben 5 μ 39 μ 20, A m 5.6 mm; E. 5 μ 39 μ 35;

Beginn einer neuen Bewegung bei 5 μ 18 μ 97; Max.

fast zur Ruhe gelangt.

immer schwächer, bis bei 5 μ 14 μ 48 das Pendel

mehr als 10 mm bis 4 μ 33 μ 97; Bewegung wird

folgt eine Reihe heftiger Stöße mit Amplituden von

M μ 4 μ 14 μ 15, A t 11.2 mm;

E... B. 4 μ 8 μ 29, M μ 4 μ 9 μ 13, A t 4.5 mm;

Reihe jedoch schwächer Stöße; E. 6 μ 59 μ 87.

rasche Abnahme bis 6 μ 4 μ 50; folgt eine neue

Zunahme, bei 5 μ 58 μ 19, A 19.0 mm; hierauf

mehr A von 5.0 mm vor kommt. Abermals die

Bewegung nimmt ab, bis bei 5 μ 17 μ 54 nur

schwingeren bemerkbar mit A 14.0 mm;

im Betrage von 9.1 mm. Bei 5 μ 7 μ 30 Pendel-

versetzung statt und zwar nach Nordwesten

Aufzeichnung wird undeutlich; es findet eine Pendel-

V... B. 4 μ 8 μ 41; M μ 4 μ 9 μ 38, A t 4.0 mm;

E. Maßeile, Erdbebenstörungen zu Test

E... Schwache Unruhe, A_m 1.3 mm.

E. 14h 56m 50.

M^6 14h 43m 60, A_g 1.4 mm;

M^4 14h 36m 95, A_g 2.6 mm;

Max. 14h 30m 30, A_m 3.0 mm;

M^2 14h 24m 07, A_g 2.4 mm;

V... B. 14h 15m 64; M^1 14h 16m 45, A_g 1.0 mm;

Folgt schwache Unruhe.

E. 14h 56m 12.

M^6 14h 49m 33, A_g 1.4 mm;

M^6 14h 33m 04, A_g 2.6 mm;

Max. 14h 27m 88, A_m 5.6 mm;

M^3 14h 25m 30, A_g 3.4 mm;

M^2 14h 21m 36, A_g 1.9 mm;

(<) N... B. 14h 15m 66; M^1 14h 17m 43, A_g 1.6 mm;

Nr. 180. 23. August 1902:

V... Von 4h 55m 60 bis 4h 59m 72, A_m 1.0 mm.

N... Von 4h 52m 06 bis 5h 1m 92, A_m 1.2 mm.

Schwache Unruhe, besonders

Nr. 179. 23. August 1902:

E... Sehr schwache Unruhe.

E. 18h 39m 24.

V... B. 18h 14m 25; Max. 18h 19m 74, A_m 2.2 mm;

Schwache Unruhe folgt.

E. 18h 40m 90.

<> N... B. 18h 12m 34; Max. 18h 20m 31, A_m 3.0 mm;

Nr. 178. 22. August 1902:

E... Fast ruhig.

Max. 17h 8m 80, A_m 1.6 mm; E. 17h 21m 56.

Abnahme, hierauf Zunahme;

V... B. unbekannt, M^1 16h 35m 31, A_g 1.3 mm;

Mittellinieen der Erdbeben-Kommission.

- Nr. 181. 24. August 1902:
- <> N... B. 2^h 50^m 20; M. 2^h 55^m 87, A₁ 1.3 mm;
 Hierauf bis 3^h 55^m 72 noch einige mindere Stoße mit
 V... B. 2^h 52^m 25; mehrere schwache Stoße mit
 E... Ruhig.
 Nr. 182. 24. August 1902:
 N... B. 10^h 22^m 98; Max. 10^h 27^m 34, A_m 1.0 mm;
 E. 10^h 44^m 80.
 V... Sehr schwache Thürhe.
 E... Ruhig.
 Nr. 183. 25. August 1902:
 N... Von 14^h 3^m 95 bis 14^h 51^m 04 schwache Ansehwei-
 lungen;
 Max. 14^h 18^m 75, A_m 1.5 mm.
 V... Von 14^h 1^m 77 bis 14^h 44^m 02 schwache Ansehwei-
 lungen;
 Max. 14^h 8^m 24, A_m 1.3 mm.
 E... Ruhig.
 Nr. 184. 25. August 1902:
 N... Schwache Ansehweiung;
 Max. 16^h 14^m 51 bis 16^h 21^m 55; A_m 1.1 mm.
 V... kaum bewegt.
 E... Ruhig.

M^g 23_b 8_m39, A^g 14.0 mm;
 M^g 23_b 4_m19, A^g 11.0 mm;
(<) N... B. 22_b 57_m22; M^l 22_b 59_m00, A^l 10.4 mm;

Nr. 189. 30. August 1902:

A^m 1 · 1 mm; E. 22_b 0_m72.
E... B. 21_b 45_m83; Max. 21_b 46_m52 bis 21_b 53_m76,
V... Ruhig.
E. 22_b 15_m19.
(<) N... B. 21_b 47_m06; Max. 21_b 49_m72, A^m 1 · 9 mm;

Nr. 188. 30. August 1902:

E... Ruhig.
E. 9_b 21_m13.
V... B. 8_b 44_m99; Max. 9_b 9_m40, A^m 1 · 1 mm;
E. 9_b 37_m97.
Max. 9_b 15_m08, A^m 2 · 5 mm;
<> N... B. 8_b 44_m87; M^l 8_b 49_m01, A^l 1 · 4 mm;

Nr. 187. 30. August 1902:

E... Ruhig.
E. 16_b 59_m29.
V... B. 15_b 55_m27, Max. 16_b 35_m73, A^m 3 · 0 mm;
E. 17_b 5_m40.
 M^l 16_b 47_m66, A^l 2 · 5 mm;
 M^l 16_b 41_m56, A^l 3 · 0 mm;
Max. 16_b 35_m87, A^m 3 · 8 mm;
 M^g 16_b 24_m65, A^g 2 · 0 mm;
<> N... B. 15_b 56_m12, M^l 16_b 6_m23, A^l 1 · 5 mm;

Nr. 186. 29. August 1902:

E... « « «
V... Fast ruhig.
E. 8_b 12_m44.
<> N... B. 7_b 35_m74; Max. 7_b 43_m28, A^m 1 · 2 mm;

Nr. 185. 28. August 1902:

Mitteilungen der Erdbeben-Kommission.

E... Ruhig.

Max. 13 $\frac{1}{2}$ 56 $\frac{1}{2}$ 01; A m 1.1 mm; E. 14 $\frac{1}{2}$ 18 $\frac{1}{2}$ 26.

bemerkbar;

W... B. 13 $\frac{1}{2}$ 53 $\frac{1}{2}$ 93; schwache Unruhe jedoch schon früher

E. 14 $\frac{1}{2}$ 31 $\frac{1}{2}$ 68.

M g 14 $\frac{1}{2}$ 0 $\frac{1}{2}$ 07; A g 2.0 mm;

Max. 13 $\frac{1}{2}$ 56 $\frac{1}{2}$ 58; A m 2.3 mm;

<> W... B. 13 $\frac{1}{2}$ 46 $\frac{1}{2}$ 96; M l 13 $\frac{1}{2}$ 53 $\frac{1}{2}$ 49; A l 1.2 mm;

Nr. 190. 31. August 1902:

E. 23 $\frac{1}{2}$ 38 $\frac{1}{2}$ 70.

M g 23 $\frac{1}{2}$ 24 $\frac{1}{2}$ 53; A g 2.8 mm;

M g 23 $\frac{1}{2}$ 15 $\frac{1}{2}$ 84; A g 3.6 mm;

Max. 23 $\frac{1}{2}$ 8 $\frac{1}{2}$ 69; A m 5.0 mm;

M g 23 $\frac{1}{2}$ 5 $\frac{1}{2}$ 05; A g 4.8 mm;

M g 22 $\frac{1}{2}$ 59 $\frac{1}{2}$ 96; A g 4.6 mm;

E... B. 22 $\frac{1}{2}$ 56 $\frac{1}{2}$ 68; M l 22 $\frac{1}{2}$ 58 $\frac{1}{2}$ 05; A l 3.4 mm;

E. 24 $\frac{1}{2}$ 21 $\frac{1}{2}$ 01.

M g 23 $\frac{1}{2}$ 55 $\frac{1}{2}$ 63; A g 2.4 mm;

M g 23 $\frac{1}{2}$ 48 $\frac{1}{2}$ 90; A g 5.0 mm;

M g 23 $\frac{1}{2}$ 47 $\frac{1}{2}$ 50; A g 4.5 mm;

A m 10.0 mm;

Zeichnung auch hier undeutlich; bei 23 $\frac{1}{2}$ 36 $\frac{1}{2}$ 14

M g 23 $\frac{1}{2}$ 0 $\frac{1}{2}$ 21; A g 14.0 mm;

W... B. 22 $\frac{1}{2}$ 56 $\frac{1}{2}$ 93; M l 22 $\frac{1}{2}$ 58 $\frac{1}{2}$ 17; A l 4.5 mm;

A m 2.5 mm; E. 24 $\frac{1}{2}$ 46 $\frac{1}{2}$ 52.

es folgen noch einige schwächeren Stoße mit

M g 24 $\frac{1}{2}$ 6 $\frac{1}{2}$ 16; A g 3.5 mm;

M g 23 $\frac{1}{2}$ 52 $\frac{1}{2}$ 42; A g 9.0 mm;

neuerliche Zunahme,

Bewegung nimmt ab bis 23 $\frac{1}{2}$ 41 $\frac{1}{2}$ 34, hierauf

aufzeichnung bei 23 $\frac{1}{2}$ 36 $\frac{1}{2}$ 43 mit A 6.0 mm.

nicht bestimbar; wieder entnehmbar wird

aufzeichnung wird undeutlich, daher Maximum

E. Mazelle, Erdbebenstörungen zu Thes 1902.

39

Nr. 191. 31. August 1902:

E. 19

... Schwache Urthe.

• 19430527 •

Max. 19th 13th 63, A_m 4.4 mm;

； 1971 May 1-4, E1-1, 1mm,

Digitized by srujanika@gmail.com

Mittelliniegen der Erdbeben-Romission.

Umrthe schallteend.

- E. 10_h40_m94.
Max. 10_h12_m22, A_m 8.0 mm;
E... B. 10_h7_m62; M₁ 10_h11_m01, A₁ 7.5 mm;
E. 10_h37_m13.
Max. 10_h13_m82, A_m 8.0 mm;
V... B. 10_h8_m28; M₁ 10_h11_m39, A₁ 5.0 mm;
E. 10_h41_m48.
M₂ 10_h13_m17, A₂ 12.5 mm;
> N... B. 10_h8_m03; Max. 10_h11_m55, A_m 16.5 mm;
- Nr. 198. 10. September 1902:
- E... Ruhig.
V... Sehr schwache Umrthe.
E. 2_h56_m52.
> N... B. 2_h36_m21; Max. 2_h38_m11, A_m 1.8 mm;
- Nr. 197. 7. September 1902:
- E... « « « « «
V... Kaum bemerkbare Umrthe.
lung, A_m 1.0 mm.
N... Von 19_h14_m39 bis 19_h42_m10 schwache Anschwelle.
- Nr. 196. 6. September 1902:
- E. 0_h14_m39, A₂ 6.0 mm; E. 0_h41_m67.
E... B. 0_h7_m57; Max. 0_h11_m05, A_m 8.0 mm;
M₂ 0_h16_m87, A₂ 4.5 mm; E. 0_h39_m14.
V... B. 0_h7_m82; Max. 0_h12_m55, A_m 11.8 mm;
M₃ 0_h26_m90, A₃ 2.0 mm; E. 0_h51_m96.
M₄ 0_h19_m66, A₄ 3.4 mm;
M₅ 0_h15_m48, A₅ 3.0 mm;
Max. 0_h11_m73, A_m 8.4 mm;
> N... B. 0_h7_m83; M₁ 0_h8_m95, A₁ 4.5 mm;
- Nr. 195. 6. September 1902:

E. Mazzille, Erdbebenstörungen zu Trest 1902.

E... Schwache Unruhe, A_m 1.2 mm.

Schwache Unruhe noch anhaltend.
Schwellellung mit A_m 1.0 mm; E. 13_h 16_m 15.
zwischen 12_h 56_m 53 und 13_h 13_m 35 eine neue An-

M₅ 12_h 44_m 48, A₅ 2.4 mm;
M₄ 12_h 41_m 67, A₄ 2.5 mm;
Max. 12_h 36_m 62, A_m 5.1 mm;
M₂ 12_h 30_m 32, A₂ 3.2 mm;
V... M₁ 12_h 28_m 49, A₁ 2.8 mm;
M₇ 13_h 6_m 91, A₇ 1.2 mm; E. 13_h 37_m 47.
M₆ 12_h 58_m 22, A₆ 2.8 mm;
M₅ 12_h 54_m 16, A₅ 3.0 mm;
M₄ 12_h 48_m 13, A₄ 3.3 mm;
Max. 12_h 40_m 28 und 12_h 42_m 24, A_m 6.2 mm;
M₂ 12_h 36_m 35, A₂ 3.3 mm;
N... M₁ 12_h 28_m 50, A₁ 3.4 mm;

Ende! bereits in Bewegung.

kleine Bewegung bemerkbar, am neuen Streifen um 12_h 16_m, nicht bestimmbar. Bei der Abnahme des alten Streifens, 12_h 4_m, wegen Streifenabnahme ist der Beginn dieser Störung

Nr. 201. 16. September 1902:

E... Fast ruhig.

V... Schwache Unruhe.

<> N... B. 7_h 42_m 56; Max. 7_h 54_m 71, A_m 2.2 mm; E. 8_h 34_m 47.

Nr. 200. 15. September 1902:

E... Fast ruhig.

Max. 4_h 20_m 19 bis 4_h 22_m 40, A_m 1.0 mm.

V... Schwache Anschwellellung;

Max. 4_h 31_m 30, A_m 1.6 mm

N... Von 4_h 17_m 69 bis 4_h 54_m 92 leichte Anschwellellung;

Nr. 199. 11. September 1902:

Mitteilungen der Erdbeben-Kommission.

E. infolge fortwährender Unruhe nicht bestimmbar.

M^g 7_b 41_m 49, A₄ 2.1 mm;

Max. 7_b 52_m 44, A_m 5.6 mm;

M^g 7_b 49_m 23, A₄ 4.4 mm;

E... B. 7_b 41_m 14; M^g 7_b 42_m 54, A₁ 2.5 mm;

der Stöbe; E. 8_b 56_m 73.

A 3.7 mm; folgt eine Reihe schwächer werden-

Aufzeichnung wird undeutlich, bei 8_b 3_m 15 sichtbar

M^g 7_b 41_m 39, A₂ 3.5 mm;

V... B. 7_b 37_m 77; M^g 7_b 38_m 60, A₁ 1.1 mm;

M^g 8_b 7_m 76, A₁ 4.0 mm; E. 9_b 6_m 79.

Max. 8_b 3_m 03, A_m 10.5 mm;

M^g 7_b 59_m 67, A₅ 9.5 mm;

M^g 7_b 58_m 12, A₄ 6.8 mm;

M^g 7_b 49_m 91, A₃ 5.8 mm;

M^g 7_b 44_m 33, A₂ 4.0 mm;

M^g 7_b 38_m 75, A₁ 1.2 mm;

(> N... B. 7_b 38_m 06; M^g 7_b 38_m 75, A₁ 1.2 mm;

Nr. 204. 20. September 1902:

E... Sehr schwache Unruhe.

V... Ruhig.

> N... B. 0_b 53_m 68; Max. 0_b 54_m 51, A_m 2.0 mm; E. 1_b 9_m 88.

Nr. 203. 19. September 1902:

E... Sehr schwache Unruhe.

E. 21_b 3_m 68.

V... B. unbestimbar; Max. 20_b 23_m 60, A_m 1.5 mm;

E. 21_b 3_m 97.

M^g 20_b 31_m 65, A₃ 2.3 mm;

Max. 20_b 27_m 57, A_m 2.4 mm;

<> N... B. 20_b 6_m 43; M^g 20_b 17_m 61, A₁ 1.2 mm;

Nr. 202. 18. September 1902:

Nr. 205. 22. September 1902:

> N... B. 3^h 2^m 94; M_1 3^h 4^m 20, A_1 1·9 mm;
 M_2 3^h 7^m 13, A_2 8·6 mm;

Aufzeichnung wird undeutlich, ersichtlich eine große Reihe Maxima mit Amplituden von mehr als 18 mm. Aufzeichnungen werden wieder sichtbarer bei 4^h 8^m 17 mit A 9·0 mm;

M_3 4^h 13^m 61, A_3 7·0 mm;
 M_4 4^h 17^m 69, A_4 5·0 mm;
 M_5 4^h 26^m 13, A_5 5·4 mm;

folgt eine Reihe an Stärke abnehmender Stöße, bis bei 5^h 1^m 23 noch A 2·5 mm bemerkbar ist. Bewegung wird immer schwächer; E. 5^h 51^m 57.

V... B. 3^h 2^m 22; M_1 3^h 2^m 93, A_1 1·1 mm;
 M_2 3^h 6^m 27, A_2 3·3 mm;
 M_3 3^h 8^m 93, A_3 6·2 mm;

Aufzeichnungen werden undeutlich, Amplituden mit mehr als 6 mm ersichtlich. Aufzeichnung wird wieder sichtbar bei 4^h 7^m 74 mit A 3·0 mm. Eine schwache Zunahme der Bewegung ersichtlich von 4^h 17^m 94 bis 4^h 30^m 33 mit A_m 2·0 mm bei 4^h 25^m 30 und 4^h 26^m 52. Bewegung nimmt kontinuierlich ab; E. unbestimmtbar.

E... B. 3^h 3^m 80; Max. 3^h 8^m 82, A_m 8·0 mm;

auch hier werden Aufzeichnungen undeutlich, ersichtlich Amplituden mit mehr als 7 mm; Aufzeichnungen entnehmbarer bei 3^h 26^m 17 mit 3·5 mm;

M_2 3^h 33^m 16, A_2 3·0 mm;
 M_3 3^h 44^m 48, A_3 2·3 mm;
 M_4 3^h 46^m 87, A_4 1·8 mm;
 M_5 3^h 50^m 92, A_5 2·2 mm;
E. unbestimmtbar.

Nr. 206. 23. September 1902:

> N... B. 21^h 32^m 10; M_1 21^h 32^m 93, A_1 8·6 mm;
 M_2 21^h 36^m 43, A_2 9·6 mm;
 M_3 21^h 44^m 94, A_3 14·7 mm;
Max. 21^h 52^m 89, A_m 28·0 mm;
 M_5 22^h 0^m 57, A_5 15·8 mm;
 M_6 22^h 14^m 86, A_6 16·0 mm;
 M_7 22^h 22^m 91, A_7 9·0 mm;
 M_8 22^h 47^m 30, A_8 6·5 mm;
 M_9 22^h 55^m 05, A_9 4·0 mm;

Stöße werden immer schwächer; E. 24^h 33^m 72.

V... B. 21^h 31^m 95; M_1 21^h 32^m 78, A_1 11·4 mm;
 M_2 21^h 35^m 86, A_2 9·0 mm;
 M_3 21^h 39^m 90, A_3 14·0 mm;
 M_4 21^h 50^m 23, A_4 10·0 mm;
 M_5 21^h 56^m 79, A_5 8·0 mm;
Max. 22^h 7^m 93, A_m 15·0 mm;
 M_7 22^h 17^m 34, A_7 12·0 mm;

Bewegung lässt an Intensität nach, bei 22^h 46^m 73
nur mehr A 2·0 mm; E. 24^h 33^m 43.

Sehr schwache Unruhe anhaltend.

E... B. 21^h 31^m 70; M_1 21^h 32^m 82, A_1 6·0 mm;
 M_2 21^h 35^m 75, A_2 4·2 mm;
 M_3 21^h 40^m 36, A_3 4·5 mm;
Max. 21^h 45^m 40, A_m 9·5 mm;
 M_5 21^h 52^m 21, A_5 5·0 mm;
 M_6 21^h 55^m 56, A_6 4·0 mm;
 M_7 22^h 6^m 30, A_7 3·0 mm;
 M_8 22^h 11^m 55, A_8 3·3 mm;
 M_9 22^h 15^m 16, A_9 2·8 mm;

E. wegen fort dauernder Unruhe nicht bestimmbar.

5*

Nr. 207. 24. September 1902:

- > N... B. 6^h6^m69; Max. 6^h7^m80, A_m 2·1 mm; E. 6^h24^m81.
 V... B. 6^h6^m40; Max. 6^h7^m51, A_m 1·7 mm; E. 6^h28^m25.
 E... Kaum bewegt.

Nr. 208. 24. September 1902:

- > N... B. 8^h59^m44; Max. 8^h59^m71, A_m 2·4 mm;
 E. 9^h36^m22.
 V... B. 8^h59^m29; Max. 9^h 0^m00, A_m 1·7 mm;
 E. 9^h35^m93.
 E... B. 8^h59^m61; Max. 9^h 1^m83, A_m 1·3 mm;
 E. unbestimmbar.

Nr. 209. 24. September 1902:

- (> N... B. 11^h20^m51; Max. 11^h21^m36, A_m 1·0 mm;
 E. 11^h47^m31.
 V... B. 11^h20^m08; Max. 11^h20^m51 bis 11^h22^m46,
 A_m 0·9 mm; E. 11^h38^m65.
 E... Fast ruhig.

Nr. 210. 26. September 1902:

- <> N... B. 13^h22^m27; Max. 13^h24^m48 bis 13^h30^m27 und
 von 13^h37^m59 bis 13^h48^m21,
 A_m 1·0 mm; E. 14^h 4^m76.
 V... Schwache Unruhe.
 E... » »

Nr. 211. 30. September 1902:

- N... Zwischen 7^h54^m24 und 8^h33^m78 eine schwache Anschwellung mit A_m 1·4 mm von 7^h54^m96 bis 7^h58^m74.
 V... Ruhig.
 E... ^m---über unruhig.

Nr. 212. 2. Oktober 1902:

$<> N \dots$ B. unbestimmbar; $M_1 19^h 10^m 47$, $A_1 0 \cdot 9 mm$;
 Max. $19^h 18^m 14$, $A_m 1 \cdot 7 mm$;

von $19^h 20^m 93$ bis $20^h 4^m 88$ eine Reihe schwacher
 Stöße mit $A_m 1 \cdot 4 mm$; E. $20^h 36^m 28$.

$V \dots$ B. $19^h 0^m 92$; $M_1 19^h 4^m 19$, $A_1 1 \cdot 2 mm$;
 Max. $19^h 11^m 98$, $A_m 2 \cdot 5 mm$;
 $M_3 19^h 17^m 85$, $A_3 1 \cdot 8 mm$;
 E. $20^h 35^m 99$.

$E \dots$ B. $19^h 0^m 94$; $M_1 19^h 3^m 81$, $A_1 2 \cdot 2 mm$;
 $M_2 19^h 5^m 74$, $A_2 2 \cdot 2 mm$;
 $M_3 19^h 10^m 34$, $A_3 2 \cdot 2 mm$;
 E. unbestimmbar.

Nr. 213. 4. Oktober 1902:

$<> N \dots$ B. $7^h 56^m 93$; $M_1 7^h 58^m 86$, $A_1 1 \cdot 6 mm$;
 $M_2 8^h 6^m 91$, $A_2 1 \cdot 8 mm$;
 Max. $8^h 16^m 75$, $A_m 2 \cdot 4 mm$; E. $9^h 3^m 45$.

$V \dots$ Schwache Unruhe.

$E \dots$ » »

Nr. 214. 6. Oktober 1902:

$(> N \dots$ Starke seismische Störung ersichtlich. B. zirka $10^h 23^m$. Wegen Versagens des photographischen Papiers und des Blendenfalles genaue Ausmessung unmöglich.

Nr. 215. 8. Oktober 1902:

$N \dots$ Bei 3^h eine Anschwellung mit $A_m 1 \cdot 4 mm$. Wegen Versagens der Markierung des Stundenbeginnes genaue Zeitangabe nicht möglich.

$V \dots$ Schwache Unruhe.

$E \dots$ » »

Nr. 216. 12. Oktober 1902:

Wegen unregelmäßigen Fallens der Stundenblende genaue Ausmessung der Störung unmöglich.

- > N... B. bei 9^h; A_m 2·2 mm.
- V... Tagsüber mikroseismische Unruhe.
- E... » » »

Nr. 217. 13. Oktober 1902:

Bemerkung wie bei Nr. 216.

- (> B. bei 13^h.
- N... A_m 1·8 mm.
- V... A_m 1·4 mm.
- E... A_m 2·1 mm.

Nr. 218. 14. Oktober 1902:

Bemerkung wie bei Nr. 216.

- > B. zirka 14^h.
- N... A_m 1·6 mm.
- V... A_m 0·8 mm.
- E... Andauernde mikroseismische Unruhe.

Nr. 219. 15. Oktober 1902:

Bemerkung wie bei Nr. 216.

- (> N... B. bei 9^h 30^m; A_m 2·3 mm.
- V... Tagsüber mikroseismische Unruhe.
- E... » » »

Nr. 220. 17. Oktober 1902:

- <> N... B. 8^h 31^m 83; Max. 8^h 40^m 76, A_m 1·0 mm; E. 8^h 46^m 66.
- V... Schwache Anschwellung von 8^h 31^m 27 bis 8^h 38^m 13,
 A_m 0·9 mm.
ruhig.

Nr. 221. 18. Oktober 1902:

> N... B. 21^h29^m32; M_1 21^h30^m84, A_1 1 7 mm;
 Max. 21^h32^m22, A_m 4·0 mm;
 M_3 21^h33^m33, A_3 3·9 mm;
 M_4 21^h35^m39, A_4 2·1 mm;

es folgen fast gleich starke Stöße bis 21^h51^m11;
 E. wegen der folgenden Störung unbestimmbare.

V... B. 21^h29^m72; M_1 21^h30^m41, A_1 1·3 mm:
 M_2 21^h33^m17, A_2 5·0 mm:
 Max. 21^h35^m65, A_m 5·1 mm;
 E. 21^h49^m44.

E... Tagsüber mikroseismische Unruhe.

Nr. 222. 18. Oktober 1902:

N... Von 22^h8^m49 bis 22^h23^m16 eine Verdickung der Kurve; Max. bei 22^h9^m85, A_m 1·4 mm.

V... Von 22^h9^m97 bis 22^h17^m44 schwache Bewegung,
 A_m 1·0 mm.

E... Tagsüber mikroseismische Unruhe.

Nr. 223. 19. Oktober 1902:

> N... B. 4^h31^m11; Max. 4^h34^m67, A_m 5·8 mm;
 M_2 4^h36^m99, A_2 3·8 mm;
 M_3 4^h41^m09, A_3 2·5 mm;
 M_4 4^h47^m64, A_4 2·0 mm;
 E. 5^h 7^m05.

V... B. 4^h31^m38; M_1 4^h32^m33, A_1 1·2 mm;
 M_2 4^h33^m57, A_2 1·7 mm;
 Max. 4^h34^m65, A_m 3·4 mm;
 E. 5^h 1^m30.

E... B. 4^h31^m26; M_1 4^h33^m99, A_1 1·8 mm;
 M_2 4^h37^m82, A_2 1·8 mm;
 E. unbestimmbare.

Nr. 224. 19. Oktober 1902:

$<>$ N... B. $15^h 29^m 29$; Max. $15^h 38^m 46$, $A_m 1 \cdot 5 mm$;
E. $15^h 59^m 02$.

V... Von $15^h 32^m 70$ bis $15^h 45^m 03$ schwache Anschwelling, $A_m 0 \cdot 9 mm$.

E... Von $15^h 30^m 80$ bis $15^h 44^m 09$ schwache Anschwelling, $A_m 0 \cdot 9 mm$.

Nr. 225. 21. Oktober 1902:

$(> N... B. 7^h 49^m 12$; Max. $7^h 53^m 59$, $A_m 2 \cdot 0 mm$;
E. $8^h 17^m 09$.

V... B. schwacher Anschwellungen bei $7^h 48^m 97$,
 $A_m 1 \cdot 2 mm$; E. $8^h 4^m 21$.

E... Ruhig.

Nr. 226. 23. Oktober 1902:

$(> N... B. 9^h 52^m 69$; $M_1 9^h 53^m 67$. $A_1 1 \cdot 7 mm$;
Max. $9^h 55^m 08$ bis $9^h 56^m 48$, $A_m 2 \cdot 3 mm$;
E. $10^h 37^m 24$.

Schwache Unruhe weiter anhaltend.

V... B. $9^h 52^m 40$; $M_1 9^h 53^m 24$, $A_1 1 \cdot 0 mm$;
Max. $9^h 55^m 49$, $A_m 2 \cdot 8 mm$;
E. $10^h 15^m 17$.

Schwache Unruhe folgt.

E... B. $9^h 52^m 15$; $M_1 9^h 53^m 13$, $A_1 1 \cdot 0 mm$;
Max. $9^h 55^m 24$, $A_m 2 \cdot 5 mm$;
E. $10^h 14^m 22$.

Schwache Unruhe folgt.

Nr. 227. 25. Oktober 1902:

> N... B. 22^h 46^m33; M_1 22^h 47^m02, A_1 4·0 mm;

Max. 22^h 49^m20, A_m 6·0 mm;

M_3 22^h 50^m56, A_3 5·4 mm;

M_4 22^h 55^m24, A_4 3·9 mm;

E. 23^h 19^m75.

V... B. 22^h 45^m49; M_1 22^h 46^m73, A_1 1·2 mm;

Max. 22^h 48^m23, A_m 4·4 mm;

M_3 22^h 53^m57, A_3 2·0 mm;

E. 23^h 19^m46.

Schwache Unruhe dauert noch lange fort.

E... Tagsüber mikroseismische Unruhe.

Nr. 228. 31. Oktober 1902:

<> N... B. 14^h 49^m00; eine Reihe schwacher Stöße mit A 1·0 mm;

Max. von 15^h 2^m19 bis 15^h 11^m72, A_m 1·3 mm;

E. 15^h 27^m36.

V... Anhaltende leichte Unruhe.

E... » » »

Nr. 229. 2. November 1902:

(> N... B. 20^h 42^m09; Max. 20^h 46^m59, A_m 1·4 mm;

E. 21^h 15^m23.

Schwache Unruhe fortdauernd.

V... B. 20^h 41^m80; Max. 20^h 45^m48, A_m 1·1 mm;

E. unbestimmbar.

E... B. 20^h 41^m14; M_1 20^h 42^m78, A_1 2·7 mm;

Max. 20^h 44^m69, A_m 2·8 mm;

E. 21^h 9^m23.

Schwache Unruhe folgt.

Nr. 230. 4. November 1902:

Beginn wegen Streifenwechsels unbestimmbar; nach Aufspannen des neuen Blattes:

N... M_1 13^h 11^m 22, A_1 3·2 mm;
 Max. 13^h 16^m 80 und 13^h 18^m 56, A_m 5·2 mm;
 M_3 13^h 22^m 11, A_3 3·9 mm;
 M_4 13^h 31^m 22, A_4 4·8 mm;
 M_5 13^h 36^m 66, A_5 3·0 mm; E. 14^h 0^m 20.

Schwache Unruhe anhaltend.

V... M_1 13^h 11^m 65, A_1 2·7 mm;
 Max. 13^h 16^m 14, A_m 4·0 mm;
 M_3 13^h 22^m 54, A_3 2·5 mm;
 folgen mehrere kleine Stöße mit A_m 1·3 mm;
 E. 13^h 59^m 91.

E... Tagsüber mikroseismische Unruhe, zur Zeit der Störung Verdickung der Kurve bis zu 1·5 mm.

Nr. 231. 4. November 1902:

<> *N...* Zwischen 23^h 44^m 38 und 24^h 15^m 22 einige fast gleichmäßig starke Anschwellungen mit A_m 1·2 mm.

V... (Zwischen 23^h 27^m 85 und 23^h 39^m 50 schwache Stöße mit A_m 1·0 mm.)

B. 23^h 43^m 96; M_1 23^h 51^m 03, A_1 1·2 mm;
 Max. 23^h 53^m 67, A_m 1·7 mm;
 E. 24^h 13^m 54.

Schwache Unruhe anhaltend.

E... Tagsüber mikroseismische Unruhe.

Nr. 232. 6. November 1902:

(> *N...* B. 1^h 33^m 04; Max. 1^h 37^m 92, A_m 2·8 mm;
 1^h 15^m 59.

V... B. und E. infolge mikroseismischer Bewegung unbestimmbar;

Max. $1^h 37^m 91$, $A_m 4 \cdot 0 \text{ mm}$.

E... Fortwährende mikroseismische Unruhe.

Nr. 233. 6. November 1902:

<> N... B. $5^h 48^m 10$; Max. $5^h 50^m 47$, $A_m 0 \cdot 9 \text{ mm}$;
E. $5^h 54^m 66$.

V... B. und E. unbestimmbar;

Max. $5^h 55^m 48$, $A_m 0 \cdot 9 \text{ mm}$.

E... Kontinuierliche Unruhe.

Nr. 234. 6. November 1902:

<> N... B. $7^h 26^m 75$; Max. $7^h 33^m 73$, $A_m 1 \cdot 4 \text{ mm}$;
E. $7^h 43^m 21$.

V... Ruhig.

E... B. $7^h 26^m 21$; Max. $7^h 33^m 19$, $A_m 1 \cdot 4 \text{ mm}$;
E. $7^h 41^m 56$.

Nr. 235. 6. November 1902:

<> N... B. $8^h 53^m 55$; Max. $8^h 56^m 75$, $A_m 2 \cdot 2 \text{ mm}$;
E. $9^h 13^m 50$.

folgt neue Anschwellung;

Max. $9^h 19^m 77$ und $9^h 32^m 34$, $A_m 1 \cdot 7 \text{ mm}$;
E. $10^h 4^m 42$.

V... Von $8^h 45^m 30$ bis $9^h 18^m 79$ mehrere Anschwellungen,
 $A_m 1 \cdot 2 \text{ mm}$.

E... Anhaltende Unruhe.

Nr. 236. 7. November 1902:

<> N... B. $19^h 57^m 73$; Max. $20^h 13^m 12$, $A_m 1 \cdot 6 \text{ mm}$;
E. $20^h 47^m 62$.

V... Schwache Anschwellungen, $A_m 1 \cdot 0 \text{ mm}$.

E... Anhaltend unruhig.

Nr. 237. 8. November 1902:

N... Von $4^h 43^m 67$ bis $4^h 52^m 96$ schwache Anschwellung,
 $A_m 1 \cdot 0 \text{ mm}$.

V... Fast ruhig.

E... » »

Nr. 238. 9. November 1902:

(> *N...* B. $7^h 39^m 91$; $M_1 7^h 41^m 03$, $A_1 1 \cdot 1 \text{ mm}$;
 Max. $7^h 48^m 04$, $A_m 2 \cdot 0 \text{ mm}$;
 E. $8^h 21^m 69$.

V... B. $7^h 39^m 06$; Max. $7^h 47^m 75$, $A_m 1 \cdot 8 \text{ mm}$;
 E. $8^h 11^m 59$.

E... B. $7^h 39^m 09$; Max. $7^h 47^m 50$, $A_m 1 \cdot 2 \text{ mm}$;
 E. $8^h 15^m 54$.

Nr. 239. 11. November 1902:

<> *N...* B. $13^h 46^m 48$; Max. $13^h 52^m 20$ bis $13^h 58^m 75$,
 $A_m 1 \cdot 5 \text{ mm}$; E. $14^h 14^m 39$.

V... Kontinuierliche Unruhe.

E... » »

Nr. 240. 15. November 1902:

(> *N...* B. $10^h 43^m 79$, $M_1 10^h 46^m 38$, $A_1 2 \cdot 2 \text{ mm}$;
 $M_2 10^h 48^m 30$, $A_2 3 \cdot 0 \text{ mm}$;
 $M_3 10^h 54^m 15$, $A_3 2 \cdot 7 \text{ mm}$;
 Max. $11^h 6^m 82$, $A_m 3 \cdot 2 \text{ mm}$;

hierauf eine Reihe schwächerer Stöße mit $A 1 \cdot 2 \text{ mm}$;
 E. $11^h 37^m 24$.

V... Tagsüber mikroseismische Unruhe.

»

»

»

Nr. 241. 17. November 1902:

(> N... B. $2^h 0^m 44$, mikroseismische Unruhe jedoch vorangehend;

$$\begin{aligned} M_1 & 2^h 3^m 88, A_1 4 \cdot 5 \text{ mm}; \\ \text{Max.} & 2^h 5^m 82, A_m 4 \cdot 8 \text{ mm}; \end{aligned}$$

E. unbestimbar infolge anhaltender mikroseismischer Bewegung.

V... B. $2^h 0^m 97$; mikroseismische Unruhe vorangehend;

$$\text{Max. } 2^h 3^m 87, A_m 2 \cdot 0 \text{ mm}; \text{ E. wie oben.}$$

E... Kontinuierliche mikroseismische Unruhe.

Nr. 242. 18. November 1902:

Mikroseismische Unruhe tagsüber an allen drei Pendeln bemerkbar.

(> N... B. $3^h 5^m 70$; Max. $3^h 9^m 32$, $A_m 4 \cdot 2 \text{ mm}$;
 $M_2 3^h 17^m 97$, $A_2 2 \cdot 7 \text{ mm}$;

folgen mehrere fast gleich starke Maxima bis
 $3^h 28^m 03$; E. $3^h 44^m 77$.

V... Von $3^h 5^m 27$ bis $3^h 29^m 14$ mehrere schwächere Stöße;
Aufzeichnung jedoch undeutlich, A_m zirka 2 mm .

E... Kontinuierliche mikroseismische Unruhe.

Nr. 243. 21. November 1902:

Infolge Versagens der Gasflamme ist nur das Ende einer Störung zu bemerken, welche bei Pendel

N... um $9^h 23^m 95$ eine A von $5 \cdot 0 \text{ mm}$

zeigt; weitere Maxima bei

$$\begin{aligned} 9^h 25^m 73, A & 6 \cdot 0 \text{ mm}; & 9^h 30^m 91, A & 5 \cdot 0 \text{ mm}; \\ 9^h 39^m 36, A & 3 \cdot 0 \text{ mm}; & 9^h 55^m 85, A & 2 \cdot 8 \text{ mm}. \end{aligned}$$

Bei $10^h 17^m 54$ ist das Pendel fast zur Ruhe gelangt, es beginnt jedoch eine neue schwache Bewegung mit $A_m 1 \cdot 8 \text{ mm}$; E. unbestimbar infolge anhaltender mikroseismischer Unruhe.

Nr. 244. 23. November 1902:

- > N... B. $21^h 31^m 33$; $M_1 21^h 32^m 83$, $A_1 4 \cdot 0 \text{ mm}$;
Max. $21^h 37^m 06$, $A_m 9 \cdot 2 \text{ mm}$;
 $M_3 21^h 39^m 94$, $A_3 9 \cdot 0 \text{ mm}$;
E. $22^h 11^m 38$.
- V... B. $21^h 31^m 18$; $M_1 21^h 32^m 13$, $A_1 1 \cdot 2 \text{ mm}$;
 $M_2 21^h 34^m 33$, $A_2 2 \cdot 9 \text{ mm}$;
Max. $21^h 35^m 55$, $A_m 4 \cdot 2 \text{ mm}$;
 $M_4 21^h 39^m 08$, $A_4 3 \cdot 7 \text{ mm}$;
E. $21^h 57^m 42$.
- E... B. $21^h 30^m 79$; Max. $21^h 33^m 25$, $A_m 4 \cdot 8 \text{ mm}$;
E. $21^h 56^m 48$.

Nr. 245. 28. November 1902:

- (> N... B. $5^h 59^m 49$; $M_1 6^h 4^m 72$, $A_1 3 \cdot 3 \text{ mm}$;
Max. $6^h 8^m 44$, $A_m 6 \cdot 0 \text{ mm}$;
 $M_3 6^h 16^m 14$, $A_3 3 \cdot 0 \text{ mm}$;
E. $6^h 49^m 58$.
- V... B. und E. wegen andauernder mikroseismischer
Unruhe nicht bestimbar;
Max. $6^h 6^m 64$, $A_m 2 \cdot 5 \text{ mm}$.
- E... Fortwährende mikroseismische Unruhe.

Nr. 246. 1. Dezember 1902:

- N... Von $16^h 26^m 22$ bis $17^h 28^m 15$ mehrere Anschwellungen;
Max. $16^h 27^m 60$, $A_m 1 \cdot 6 \text{ mm}$.
- V... Mikroseismisch unruhig.

Nr. 247. 4. Dezember 1902:

$<>$ N... B. $1^h 2^m 00$; Max. $1^h 14^m 11$ bis $1^h 22^m 04$, $A_m 1 \cdot 9 \text{ mm}$;
E. $1^h 53^m 09$.

V... Tagsüber mikroseismisch unruhig.

E... Von $1^h 8^m 00$ bis $1^h 35^m 84$ Anschwellung, $A_m 1 \cdot 2 \text{ mm}$.

Nr. 248. 4. Dezember 1902:

$<>$ N... B. $2^h 5^m 71$; Max. $2^h 13^m 69$, $A_m 1 \cdot 8 \text{ mm}$;
E. $2^h 35^m 37$.

V... Tagsüber mikroseismisch unruhig.

E... Schwache Unruhe.

Nr. 249. 8. Dezember 1902:

($>$) N... B. $19^h 17^m 99$; Max. $19^h 22^m 00$, $A_m 1 \cdot 5 \text{ mm}$;
E. bei 20^h .

V... Mikroseismisch bewegt.

E... » »

Nr. 250. 13. Dezember 1902:

$>$ N... B. $0^h 32^m 54$; $M_1 0^h 38^m 36$, $A_1 4 \cdot 5 \text{ mm}$;
 $M_2 0^h 42^m 96$, $A_2 3 \cdot 8 \text{ mm}$;
Max. $0^h 55^m 14$, $A_m 8 \cdot 0 \text{ mm}$;
 $M_4 1^h 8^m 99$, $A_4 5 \cdot 0 \text{ mm}$;
 $M_5 1^h 22^m 68$, $A_5 4 \cdot 5 \text{ mm}$;

folgt eine Reihe schwächerer Stöße mit $A_m 2 \cdot 2 \text{ mm}$;
E. $2^h 6^m 52$.

V... B. $0^h 31^m 98$; $M_1 0^h 32^m 80$, $A_1 2 \cdot 3 \text{ mm}$;
Max. $0^h 35^m 66$, $A_m 3 \cdot 0 \text{ mm}$;

folgt eine Reihe fast gleich starker Stöße mit
 $A 2 \cdot 0 \text{ mm}$ bis $1^h 14^m 17$; E. $1^h 56^m 63$. Mikro-
seismische Unruhe vor und nach der Störung.

E... Tagsüber mikroseismisch bewegt.

Nr. 251. 13. Dezember 1902:

> N... B. und E. infolge mikroseismischer Bewegungen
nicht angebar;

M_1 18^h 26^m 46, A_1 10·0 mm;
 M_2 18^h 29^m 20, A_2 8·7 mm;
 M_3 18^h 37^m 68, A_3 5·1 mm;
 M_4 18^h 48^m 64, A_4 4·8 mm;
 Max. 18^h 52^m 63, A_m 11·2 mm;
 M_6 18^h 57^m 97, A_6 7·3 mm;
 M_7 19^h 5^m 93, A_7 4·0 mm;
 M_8 19^h 16^m 12, A_8 3·6 mm;
 M_9 19^h 40^m 48, A_9 2·5 mm.

V... Max. 18^h 26^m 71, A_m 9·0 mm;
 M_2 18^h 38^m 91, A_2 4·5 mm;
 M_3 18^h 54^m 11, A_3 4·4 mm;
 M_4 19^h 1^m 25, A_4 3·6 mm;
 M_5 19^h 29^m 46, A_5 3·5 mm;
 M_6 19^h 42^m 95, A_6 2·5 mm.

E... M_1 18^h 27^m 70, A_1 2·0 mm;
 Max. 18^h 32^m 08, A_m 2·2 mm;
 M_3 18^h 43^m 73, A_3 1·4 mm.

Nr. 252. 15. Dezember 1902:

> N... B. 4^h 46^m 84; M_1 4^h 48^m 33, A_1 2·6 mm;
 Max. 4^h 49^m 28, A_m 4·4 mm;
 M_3 4^h 54^m 88, A_3 3·8 mm;
 E. 5^h 19^m 43.

Mikroseismische Unruhe folgt.

V... Tagsüber starke mikroseismische Bewegung.

E... Vor- und nachher mikroseismische Unruhe.

B. 4^h 47^m 25; Max. 4^h 48^m 88, A_m 2·4 mm;
^h 3^m 88.

Nr. 253. 16. Dezember 1902:

(> N... B. 6^h14^m27; M_1 6^h18^m69, A_1 2·6 mm;
 M_2 6^h22^m43, A_2 6·0 mm;
 M_3 6^h27^m67, A_3 10·5 mm;
 M_4 6^h37^m91, A_4 25·2 mm;
 M_5 6^h41^m50, A_5 25·2 mm;
 M_6 6^h44^m55, A_6 10·5 mm;

hierauf bis 7^h12^m34 eine Reihe fast gleich starker Stöße mit A_m 8·0 mm; folgt eine Zunahme der Bewegung, worunter:

M_7 7^h19^m11, A_7 19·0 mm;

hierauf Abnahme mit

M_8 7^h30^m44, A_8 5·8 mm;
 M_9 7^h43^m58, A_9 2·5 mm;
 E. unbestimmbare.

V... Tagsüber starke mikroseismische Bewegung. Zu entnehmen wären nachfolgende Maxima der seismischen Störung:

M_1 6^h27^m38, A_1 9·5 mm;
 M_2 6^h34^m43, A_2 2·0 mm;
 M_3 6^h40^m11, A_3 8·5 mm;
 Max. 6^h49^m79, A_m 11·5 mm;
 M_5 6^h58^m36, A_5 8·2 mm;
 M_6 7^h 6^m38, A_6 9·0 mm;
 M_7 7^h18^m82, A_7 4·5 mm.

E... B. unbestimmbare; M_1 6^h17^m88, A_1 2·1 mm;
 M_2 6^h22^m44, A_2 2·8 mm;
 Max. 6^h32^m80, A_m 5·4 mm;
 M_4 6^h42^m91, A_4 4·0 mm;
 M_5 7^h 6^m13, A_5 2·2 mm;
 E. 7^h44^m84.

E. Mazelle.

Nr. 254. 16. Dezember 1902:

$<>$ N... B. 16^h 20^m 61; Max. 16^h 39^m 97, A_m 2·4 mm;
E. unbestimmbar.

V... Starke mikroseismische Unruhe.

E... Sehr schwache mikroseismische Unruhe.

Nr. 255. 17. Dezember 1902:

(>) N... B. 6^h 24^m 52; Max. 6^h 25^m 91, A_m 1·7 mm;
E. 6^h 55^m 43.

V... Starke mikroseismische Unruhe.

E... Sehr schwache mikroseismische Unruhe.

Nr. 256. 19. Dezember 1902:

$<>$ N... B. 16^h 3^m 46; Max. 16^h 16^m 26, A_m 1·7 mm;
E. 16^h 57^m 34.

V... Ziemlich stark mikroseismisch unruhig.

E... Schwach mikroseismisch bewegt.

Nr. 257. 21. Dezember 1902:

$<>$ N... B. 0^h 26^m 01; M_1 0^h 30^m 40, A_1 1·4 mm;
Max. 0^h 44^m 37, A_m 6·2 mm;
E. 1^h 22^m 45.

V... B. 0^h 26^m 00; Max. 0^h 45^m 18, A_m 2·2 mm;
E. 1^h 27^m 63.

E... Sehr schwache Anschwellung; von 0^h 24^m 38 bis
1^h 13^m 69, A_m 1·0 mm.

Nr. 258. 22. Dezember 1902:

(>) N... B. 21^h 6^m 26; Max. 21^h 7^m 09, A_m 1·4 mm;
E. 21^h 55^m 62.

V... B. 21^h 6^m 53; Max. 21^h 8^m 61, A_m 1·0 mm
E. 21^h 58^m 10.

“ “ itinuierlich schwache Unruhe.

Nr. 259. 23. Dezember 1902:

Beim N-Pendel bei 23^h eine Verdickung mit A_m 2·3 mm bemerkbar.

Nr. 260. 27. Dezember 1902:

(> N... B. 14^h 22^m66; Max. 14^h 38^m25, A_m 2·0 mm;
E. 15^h 6^m11.

V... Stärker mikroseismisch bewegt.

E... Schwache mikroseismische Unruhe.

Nr. 261. 28. Dezember 1902:

(> N... B. 2^h 58^m55; M_1 3^h 0^m74, A_1 1·3 mm;
 M_2 3^h 3^m87, A_2 1·8 mm;
 M_3 3^h 7^m84, A_3 4·5 mm;

Aufzeichnung wird undeutlich, $A_m > 9\cdot0$; wieder sichtbar

M_4 3^h 36^m96, A_4 4·5 mm;

bei 3^h 40^m92 gelangt das Pendel fast zur Ruhe
Setzen sofort neue Bewegungen ein mit A_m 2·5 mm bis 4^h 8^m10; hierauf schwächere Stöße mit A_m 1·5 mm bis 4^h 24^m66; E. unbestimmbar.

V... Mikroseismisch bewegt.

E... » »

Nr. 262. 30. Dezember 1902:

(> N... B. 6^h 11^m26; M_1 6^h 16^m59, A_1 1·2 mm;
 M_2 6^h 25^m06, A_2 2·5 mm;
 M_3 6^h 26^m15, A_3 2·8 mm;
 M_4 6^h 28^m21, A_4 6·0 mm;
Max. 6^h 31^m49, A_m 10·7 mm;
 M_6 6^h 40^m90, A_6 4·3 mm;
 M_7 6^h 48^m42, A_7 3·4 mm; E. 7^h 20^m68.

V... Tagsüber mikroseismische Unruhe.

E... » » »

Nr. 263. 30. Dezember 1902:

N... Zwischen 22^h20^m64 und 23^h22^m28 mehrere An-
schwellungen;

M_1 22^h21^m86, A_1 1·0 mm;
 M_2 22^h27^m38, A_2 1·5 mm;
 M_3 22^h32^m97, A_3 1·3 mm;
 M_4 22^h57^m63, A_4 1·2 mm.

V... Andauernde mikroseismische Unruhe

E... » » »

Nr. 264. 31. Dezember 1902:

> *N...* B. 9^h53^m75; Max. 9^h56^m24, A_m 4·8 mm;
E. 10^h33^m56.

V... B. 9^h53^m33; Max. 9^h57^m60, A_m 4·2 mm;
E. 10^h31^m34. Folgt leichte Unruhe.

E... Tagsüber starke mikroseismische Bewegung.

Die hier mitgeteilten 264 Störungen des Jahres 1902 ver-
teilen sich auf die einzelnen Monate folgendermaßen:

Jänner	19
Februar	23
März	27
April	21
Mai	18*
Juni	19
Juli	26
August	38
September.....	20
Oktober.....	17
November.....	17*
Dezember	19

Schon hier lässt sich ganz deutlich eine regelmäßige Ver-
teilung im Laufe des Jahres erkennen; wir finden eine doppelte
jährliche Periode mit den Maxima der Häufigkeit im März und
Minima im Mai und November.

Vereinigen wir diese Beobachtungen mit denen der früheren Jahre, so ergibt sich aus sämtlichen 865 Aufzeichnungen nachfolgende jährliche Periode der Häufigkeit, wobei zu bemerken ist, daß für die Monate September bis Dezember fünf Beobachtungsjahre zur Verfügung stehen, für die übrigen Monate vier Jahre.

Jährlicher Gang der Häufigkeit der Erdbebenstörungen.

	Mittleres Jahr	Monate gleicher Länge 30·42 Tage
Jänner	14·8	14·5
Februar	16·5	17·9
März.....	16·5	16·2
April.....	14·0	14·2*
Mai.....	14·8	14·5
Juni	16·5	16·7
Juli.....	19·3	18·9
August.....	22·8	22·4
September	19·4	19·7
Oktober.....	16·2	15·9
November	15·2	15·4
Dezember.....	14·2	13·9*

Für ein mittleres Jahr resultieren demnach 200 Störungen, also durchschnittlich mindestens jeden zweiten Tag eine Aufzeichnung.

Der jährliche Gang, in Form einer doppelten Periode, ist in der letzten Kolumne deutlich ersichtlich.

Aus diesen Werten wurde für die tägliche Periode der Häufigkeit der Erdbebenaufzeichnungen nachfolgende Sinusgleichung berechnet:

$$\gamma = 16 \cdot 68 + 2 \cdot 267 \sin(242^\circ 7' + x \cdot 30^\circ) \\ + 2 \cdot 467 \sin(23^\circ 17' + x \cdot 60^\circ),$$

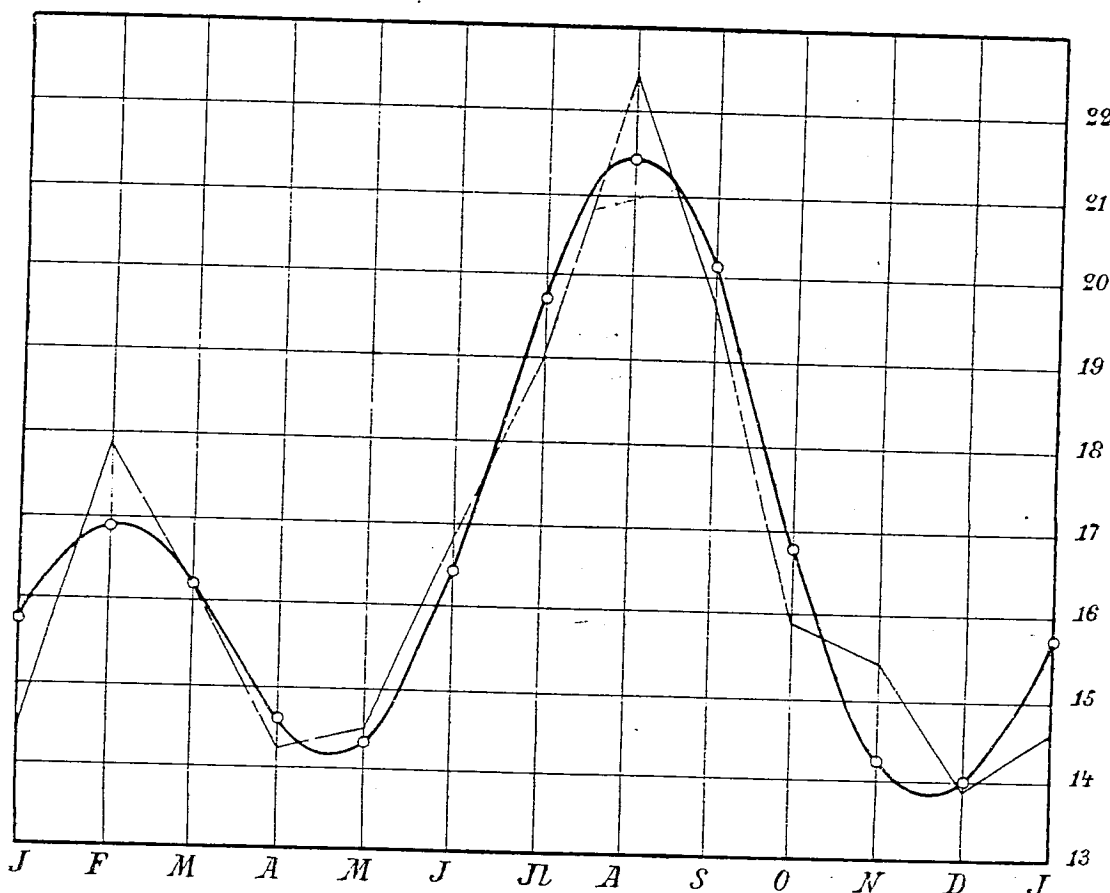
wobei $x = 0$ für Mitte Jänner und $x = 11$ für Mitte Dezember zu setzen ist und die zur Bestimmung der Amplitude und der Phasenzeiten gefundenen Koeffizienten mit

$$\begin{aligned} a_1 &= -2 \cdot 004, & a_2 &= +0 \cdot 975, \\ b_1 &= -1 \cdot 060, & b_2 &= +2 \cdot 266 \end{aligned}$$

resultieren.

Der aus dieser Gleichung berechnete jährliche Gang ist nachfolgender:

Jänner	15 · 65	-1 · 03
Februar	16 · 87	+0 · 19
März	16 · 23	-0 · 45
April	14 · 64	-2 · 04
Mai	14 · 31*	-2 · 37*
Juni	16 · 41	-0 · 27
Juli	19 · 66	+2 · 98
August	21 · 40	+4 · 72
September	20 · 07	+3 · 39
Oktober	16 · 77	+0 · 09
November	14 · 15	-2 · 53
Dezember	14 · 00*	-2 · 68*



In der Textfigur sind die zuerst erhaltenen Werte für Monate gleicher Länge gestrichelt und die aus der obigen Gleichung bestimmten durch die ganz ausgezogene Kurve dargestellt.

Die Maxima fallen auf den Februar und August, die Minima auf den Mai und Dezember. Das Frequenzmaximum des August ist bedeutend größer als das des Februar, 21 gegen 17 Störungen.

